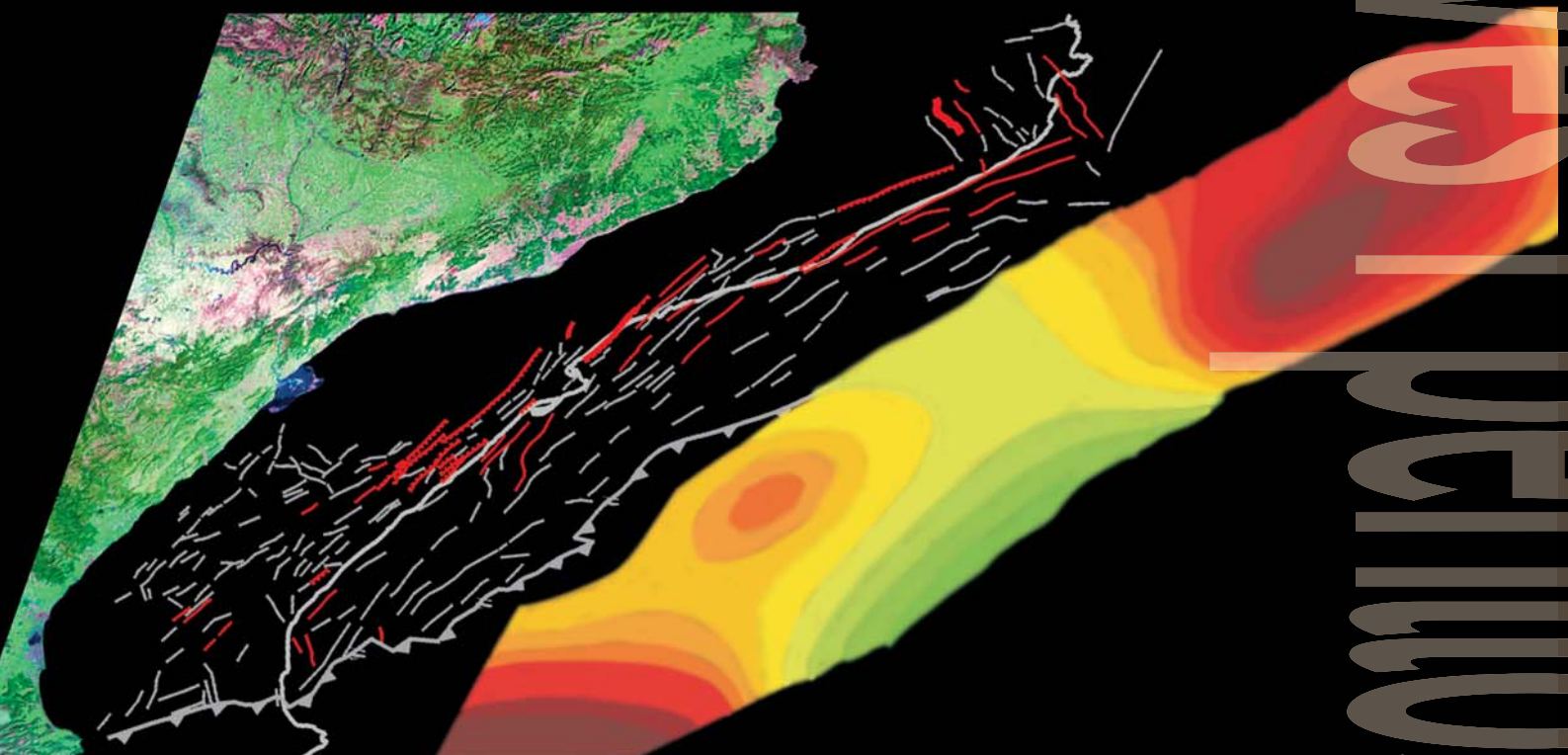


Falles actives i perilllositat sísmica al marge nord-occidental del solc de València



Hector Perea Manera

Universitat de Barcelona
RISKNAT - Grup de Riscos Naturals
Departament de Geodinàmica i Geofísica

Annex 1.

A.1. Mapes amb l'associació de terratrèmols a falles

↑ Índex

A.1. Mapes amb l'associació de terratrèmols a falles

Aquest annex 1 inclou els mapes de totes les falles que mostren registre d'activitat actual i els terratrèmols que han estat associats a cada una d'elles. Les línies vermelles indiquen la localització de les falles amb registre d'activitat actual i les taronges de les falles considerades neotectòniques. El rectangle gris transparent és la projecció en superfície del pla de falla. Els cercles transparents mostren l'error de localització horitzontal dels terratrèmols i els enfosquits són aquells que han estat associats amb la falla analitzada.

Annex 1 includes the maps of all the faults that considered responsible of the recent seismic activity and the earthquakes associated to each one. Red lines localize the faults with recent activity register and the orange lines localize the faults considered to be neotectonic. The transparent gray square is the surface projection of the fault plane. The transparent circles show the horizontal localization error of the earthquakes and the darkened ones are those associated to the analyzed fault.

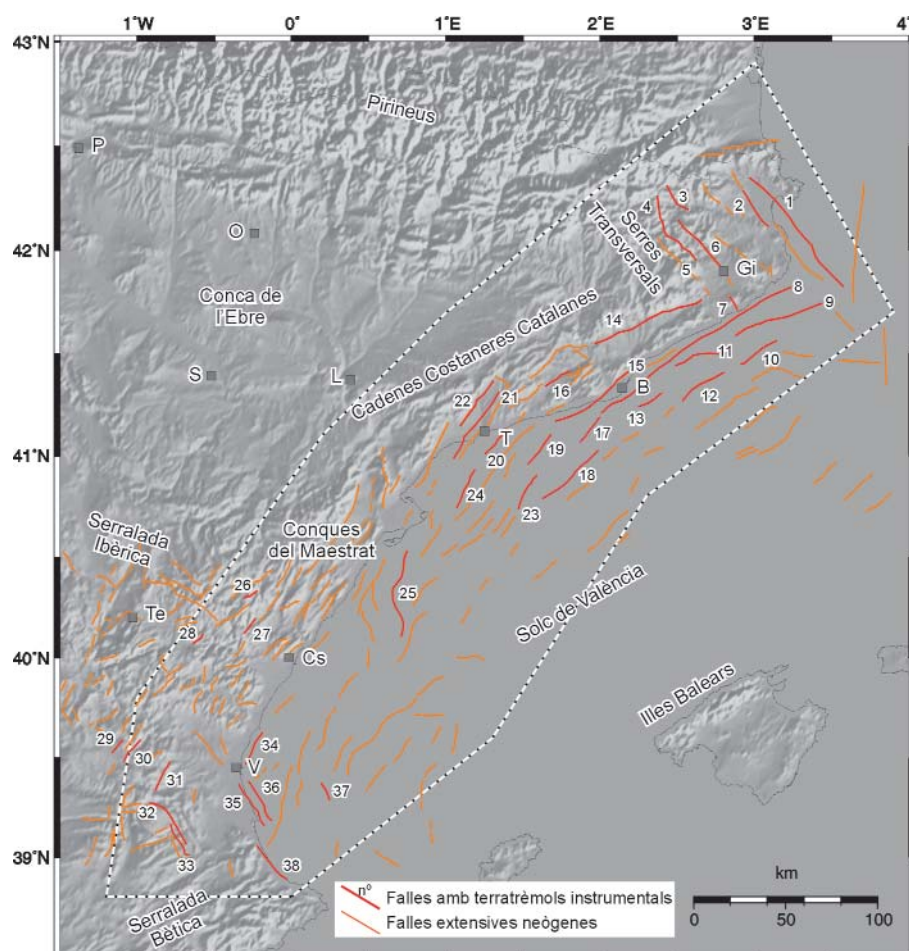


Figura A1.1. Mapa amb la localització de totes les falles que mostren registre d'activitat recent.

Map showing the localization of all the faults with registered present activity.

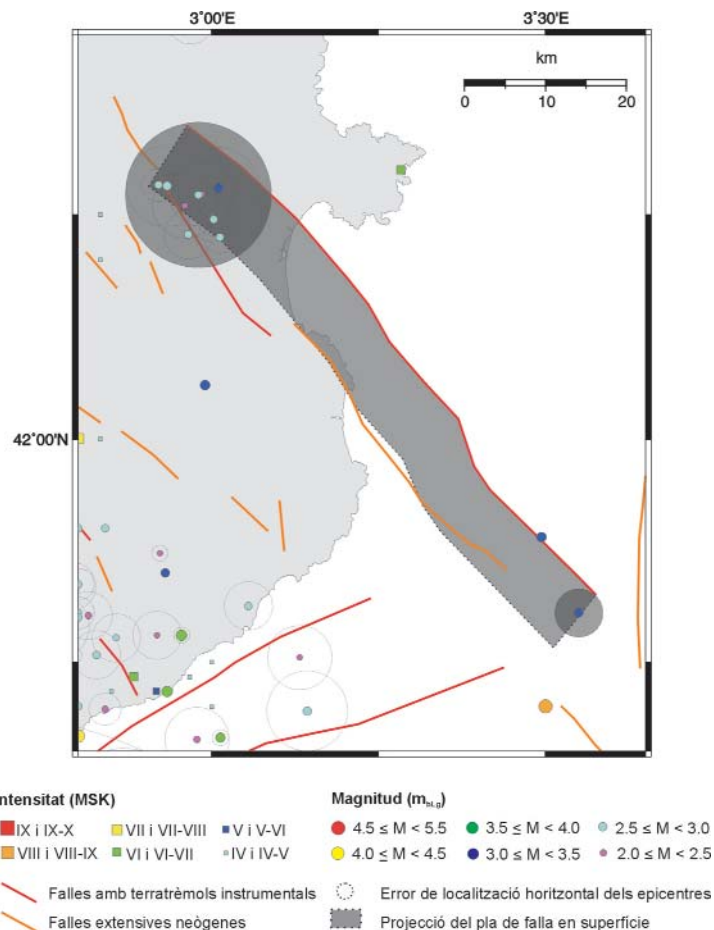


Figura A1.2. Falla n° 1.

Fault number 1.

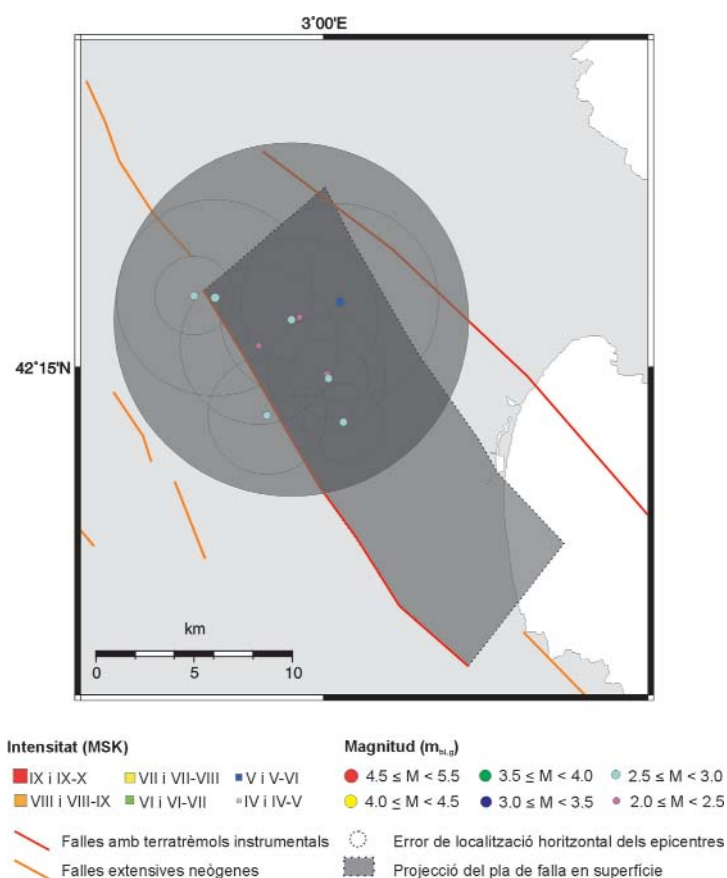


Figura A1.3. Falla n° 2.

Fault number 2.

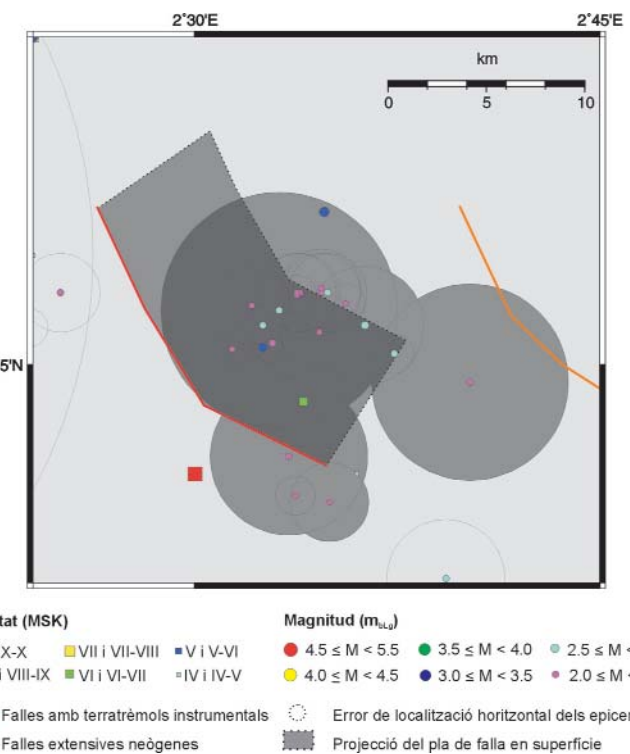


Figura A1.4. Falla n° 3.

Fault number 3.

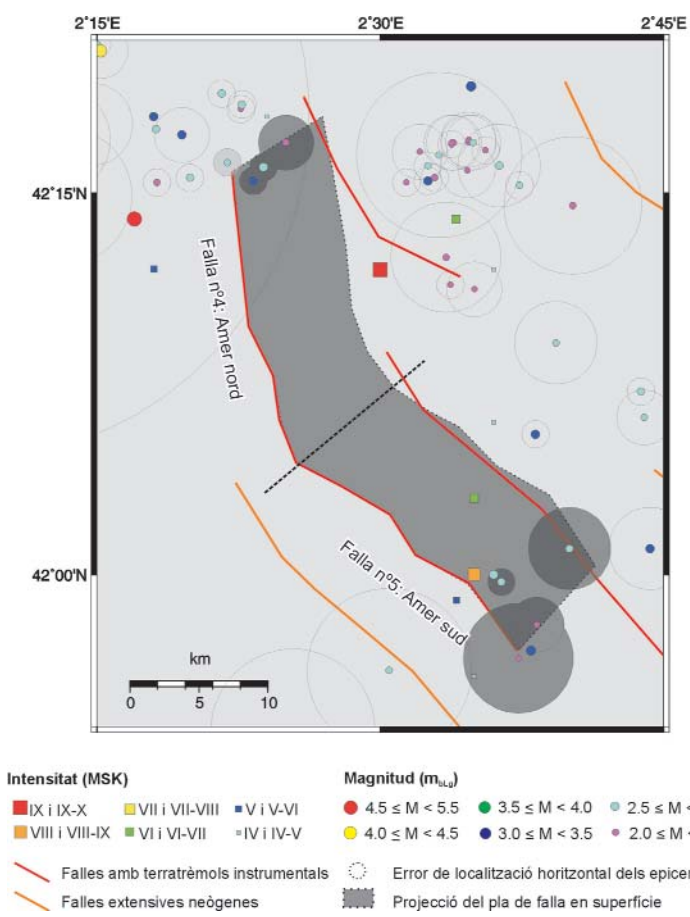


Figura A1.5. Falles n° 4 i 5.

Faults number 4 and 5.

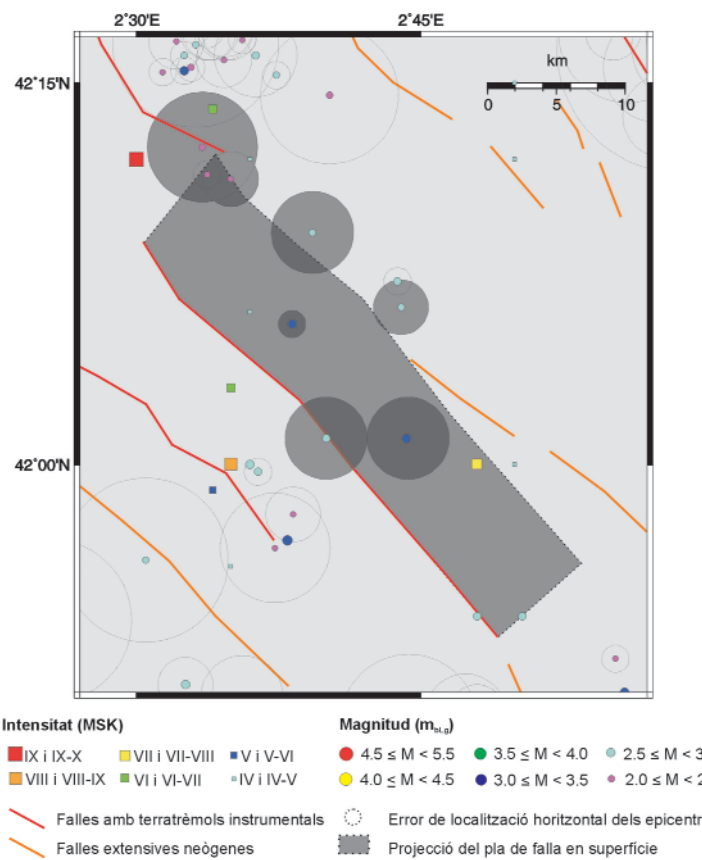


Figura A1.6. Falla n° 6.

Fault number 6.

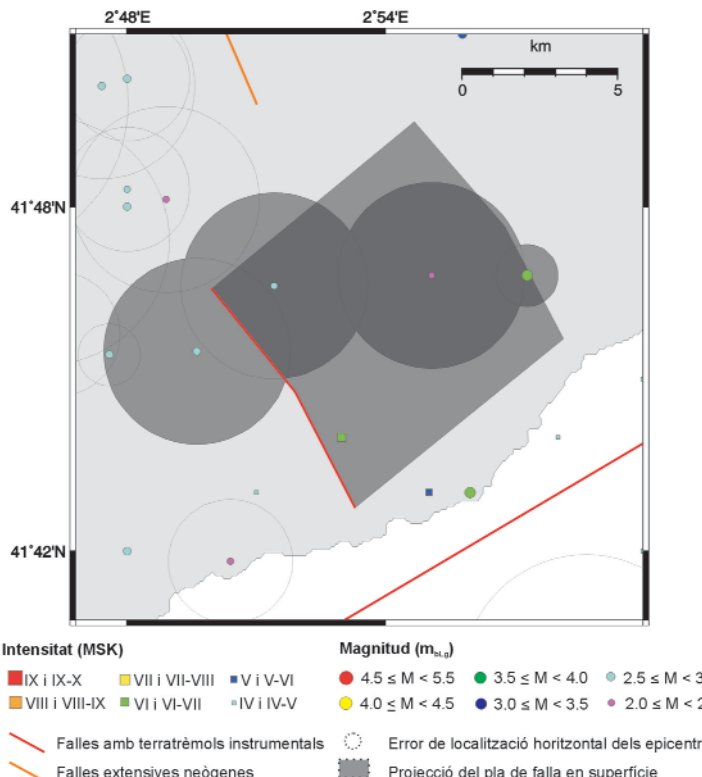


Figura A1.7. Falla n° 7.

Fault number 7.

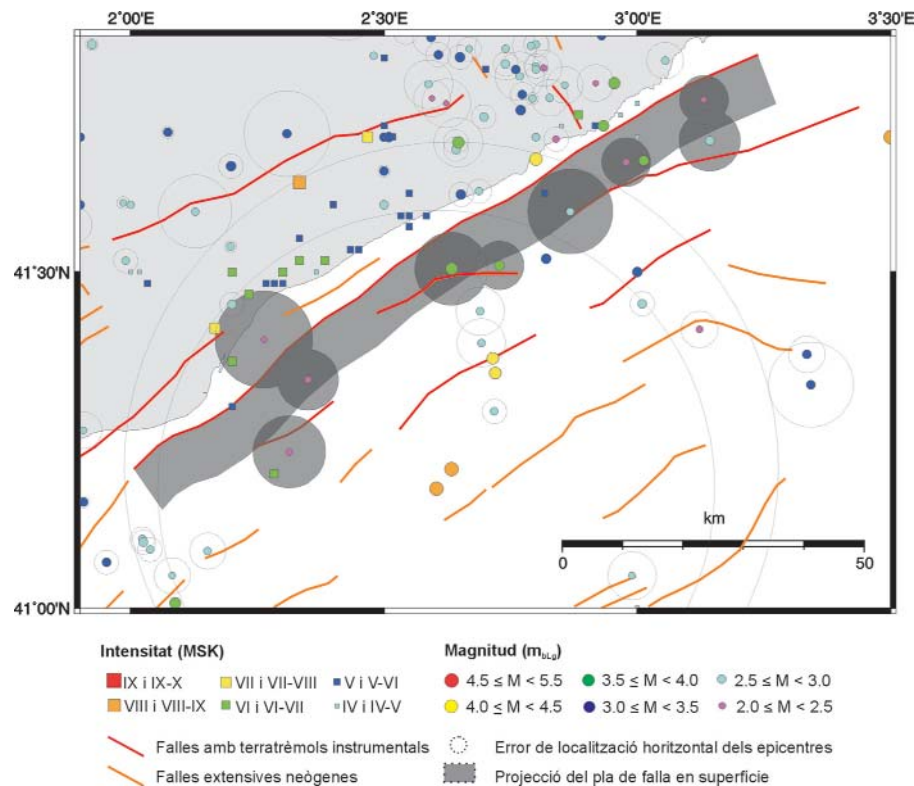


Figura A1.8. Falla n° 8.

Fault number 8.

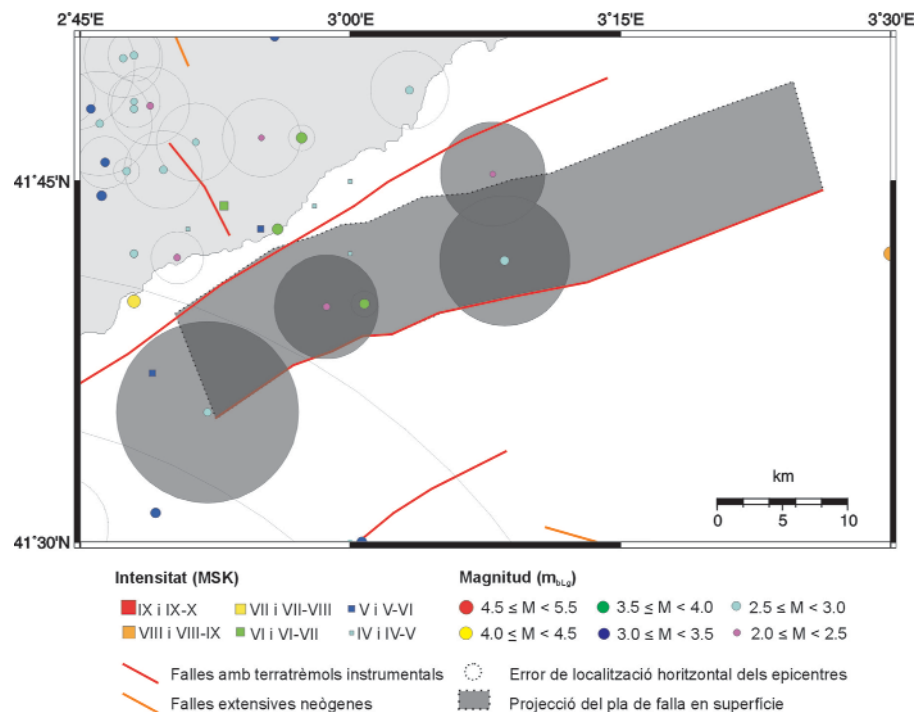


Figura A1.9. Falla n° 9.

Fault number 9.

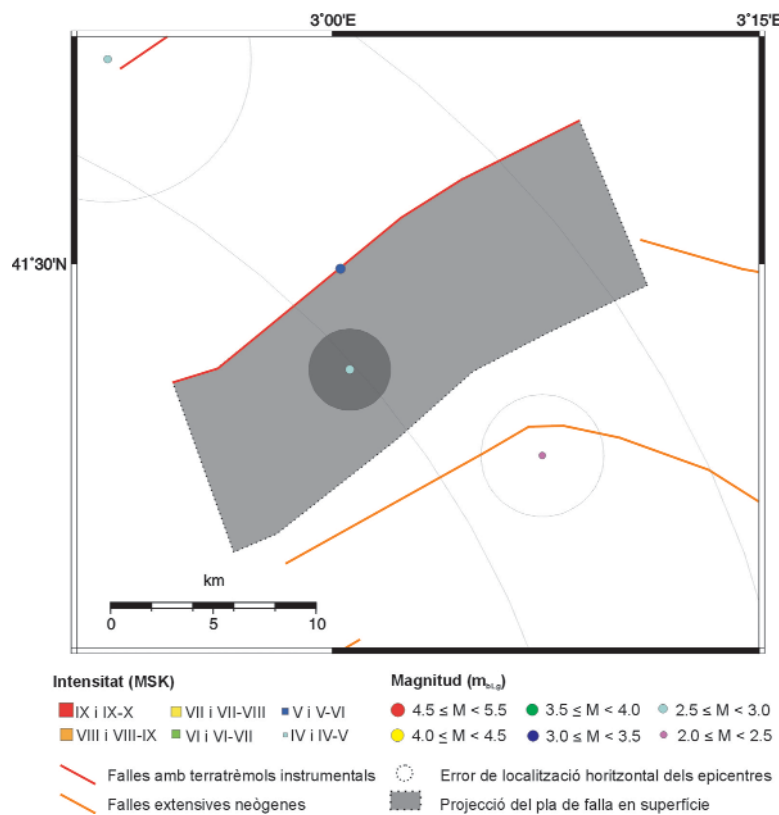


Figura A1.10. Falla n° 10.

Fault number 10.

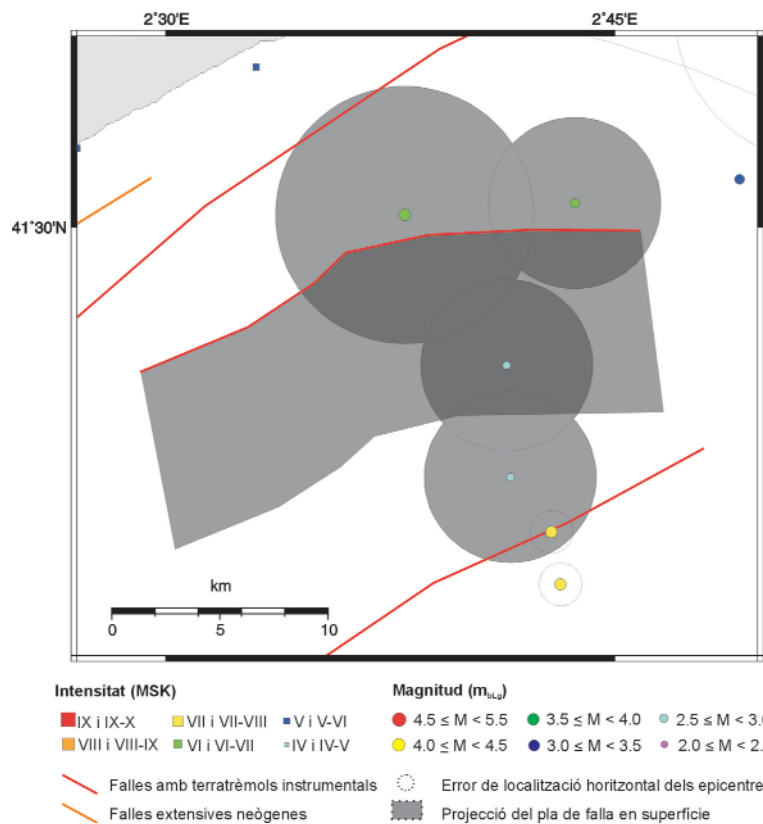


Figura A1.11. Falla n° 11.

Fault number 11.

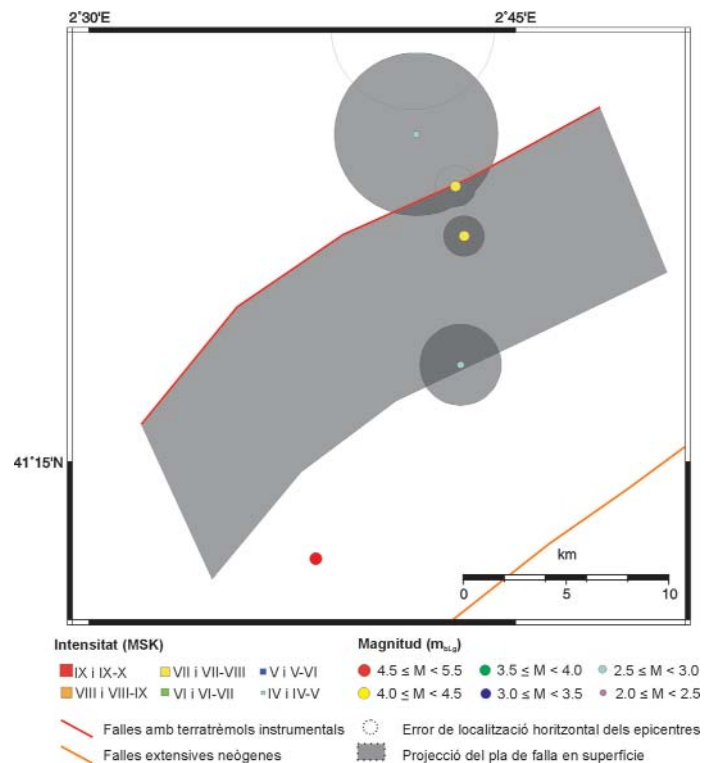


Figura A1.12. Falla n° 12.

Fault number 12.

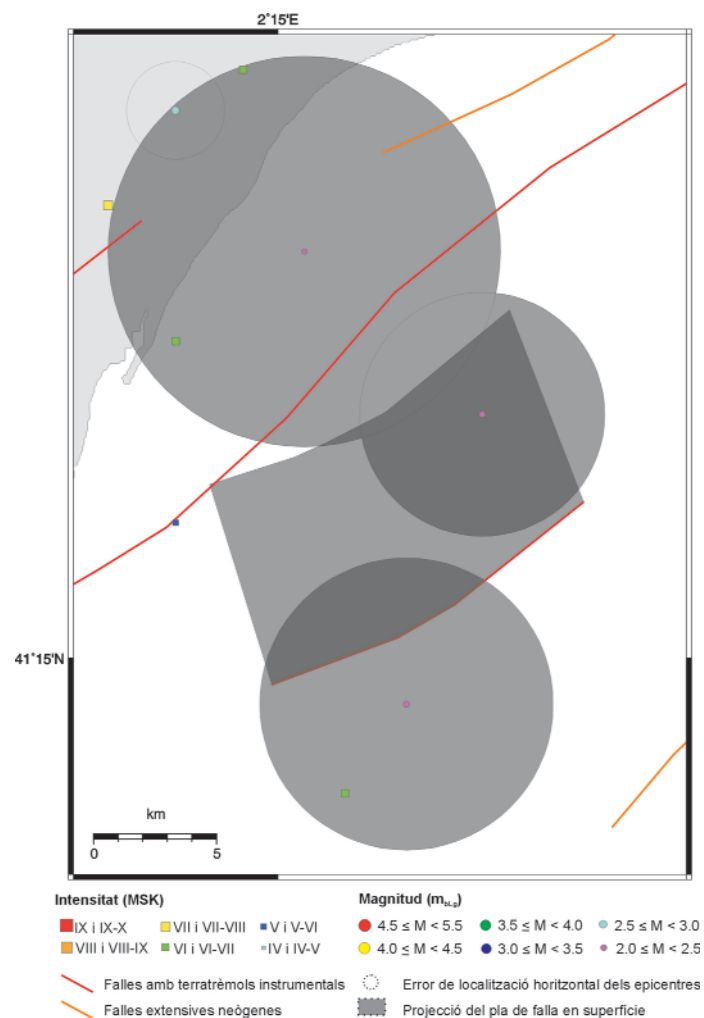


Figura A1.13. Falla n° 13.

Fault number 13.

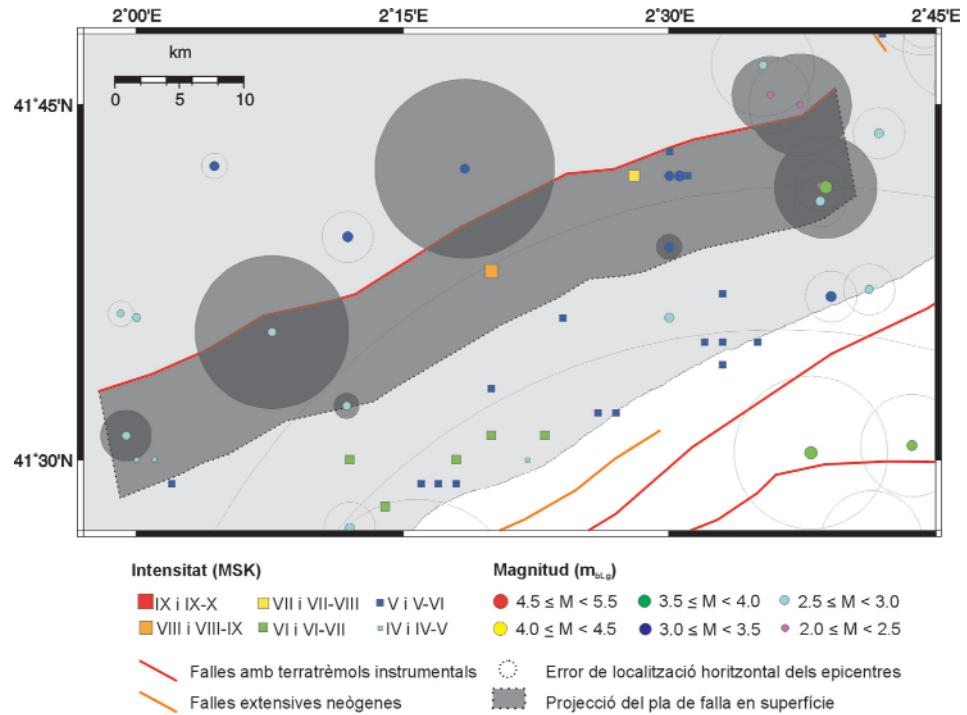


Figura A1.14. Falla n° 14.

Fault number 14.

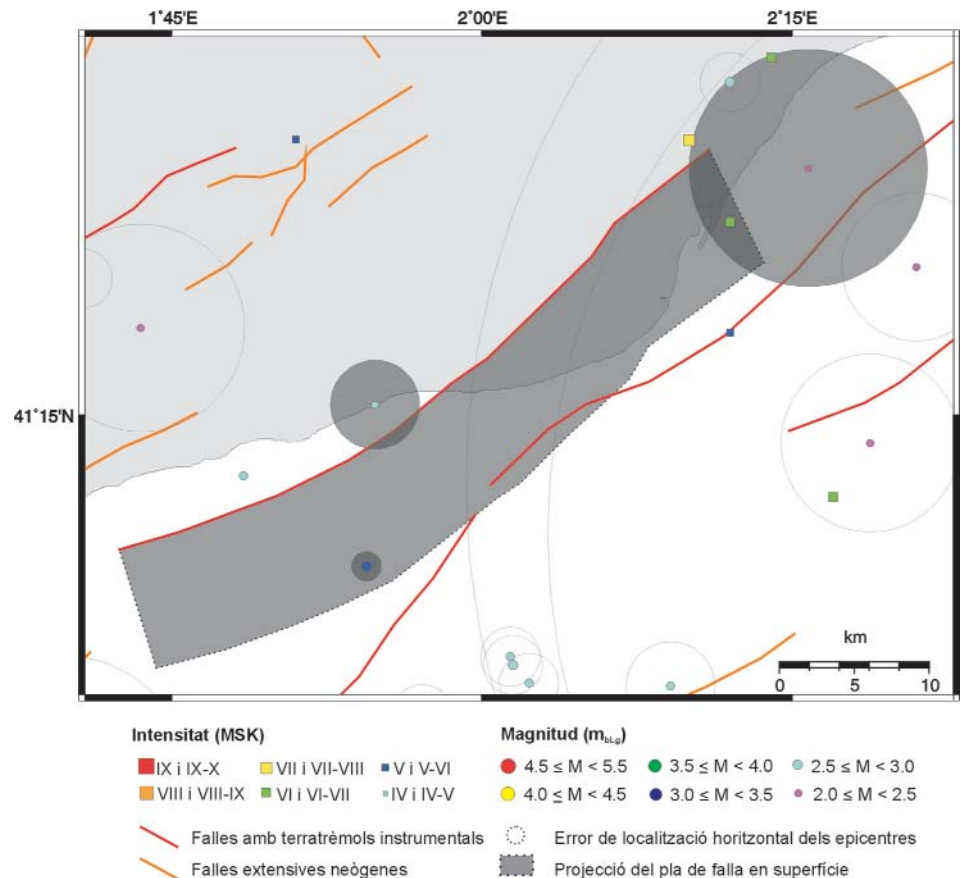


Figura A1.15. Falla n° 15.

Fault number 15.

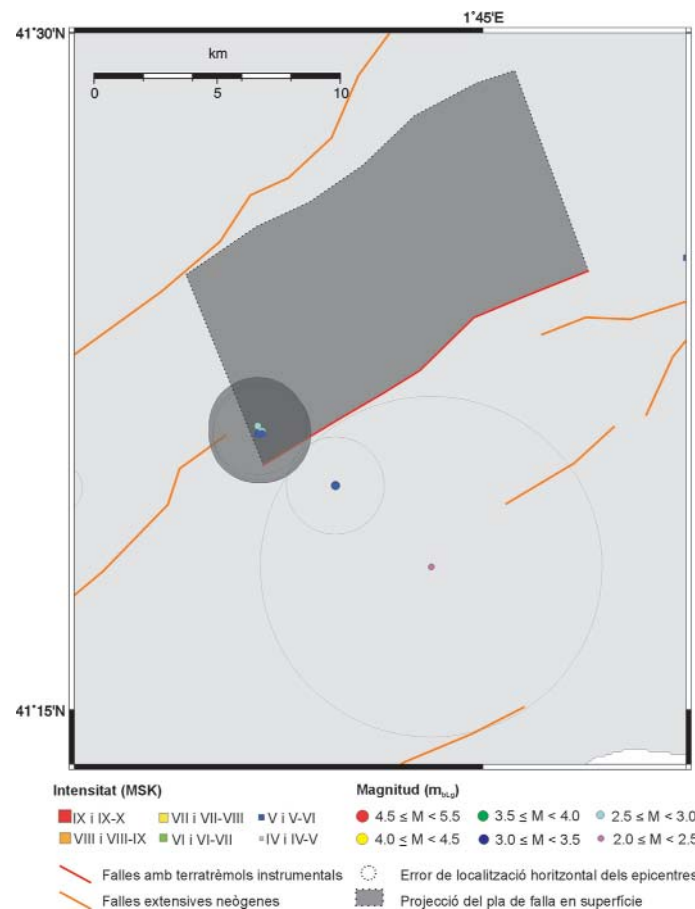


Figura A1.16. Falla n° 16.

Fault number 16.

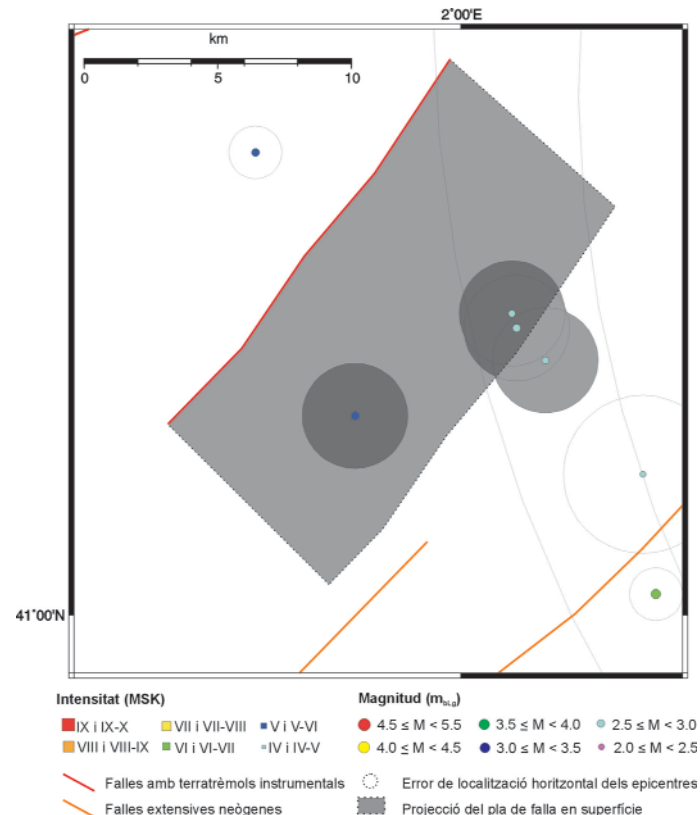


Figura A1.17. Falla n° 17.

Fault number 17.

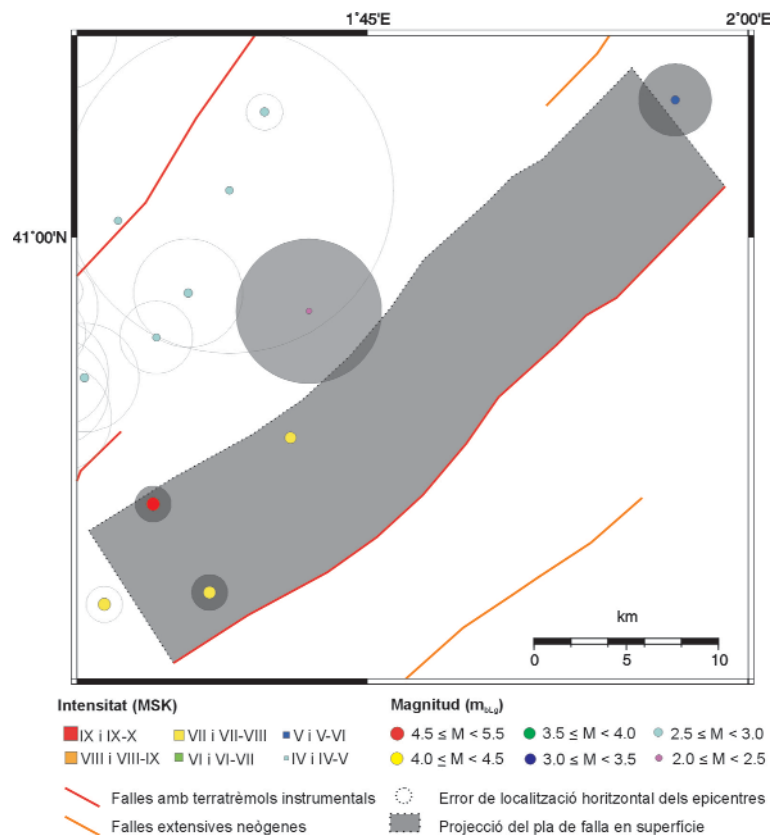


Figura A1.18. Falla n° 18.

Fault number 18.

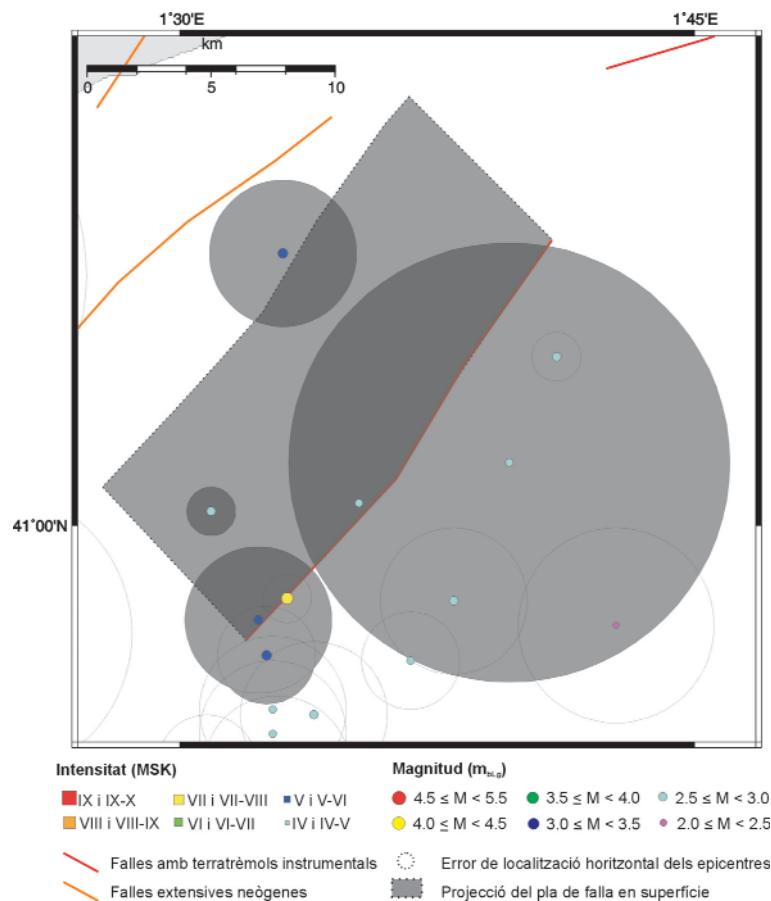


Figura A1.19. Falla n° 19.

Fault number 19.

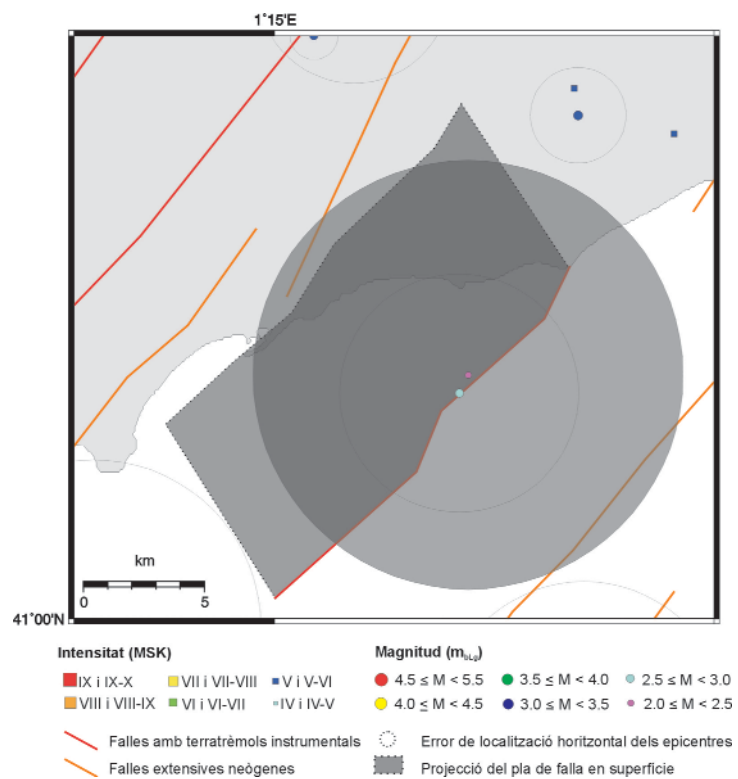


Figura A1.20. Falla n° 20.

Fault number 20.

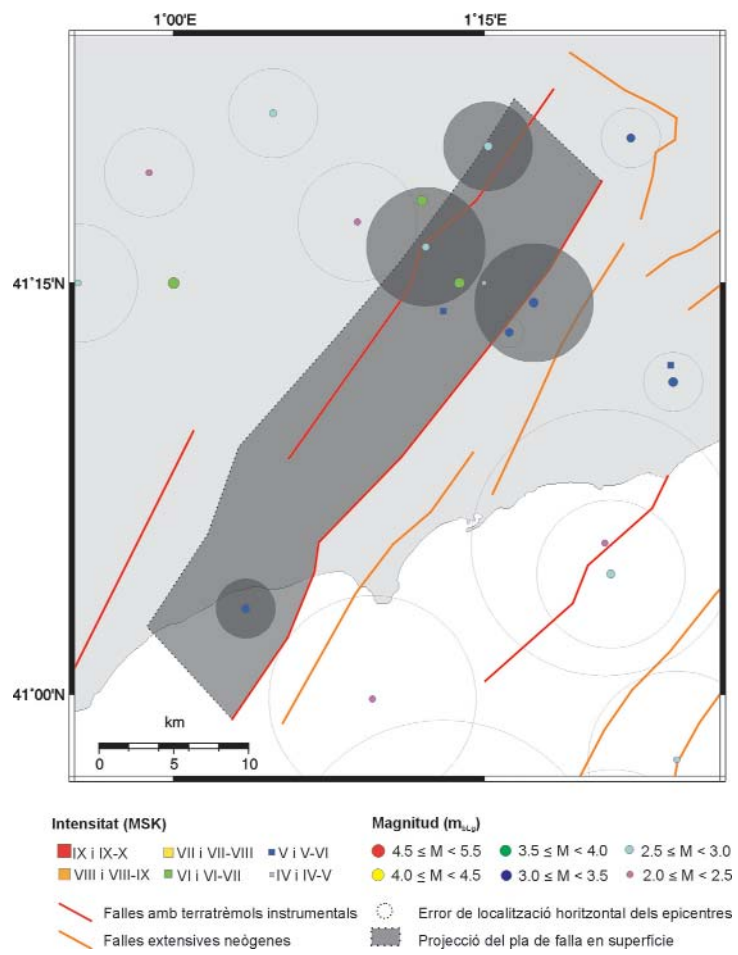
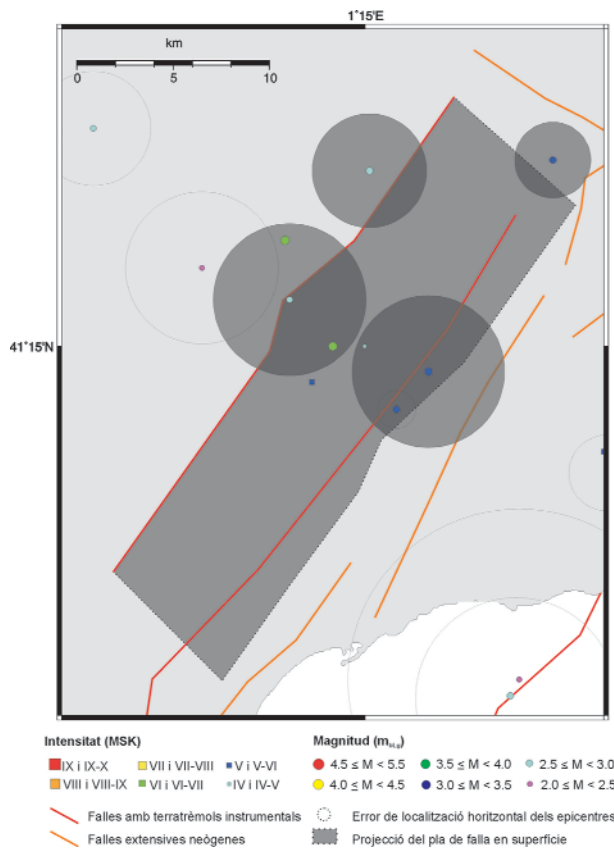
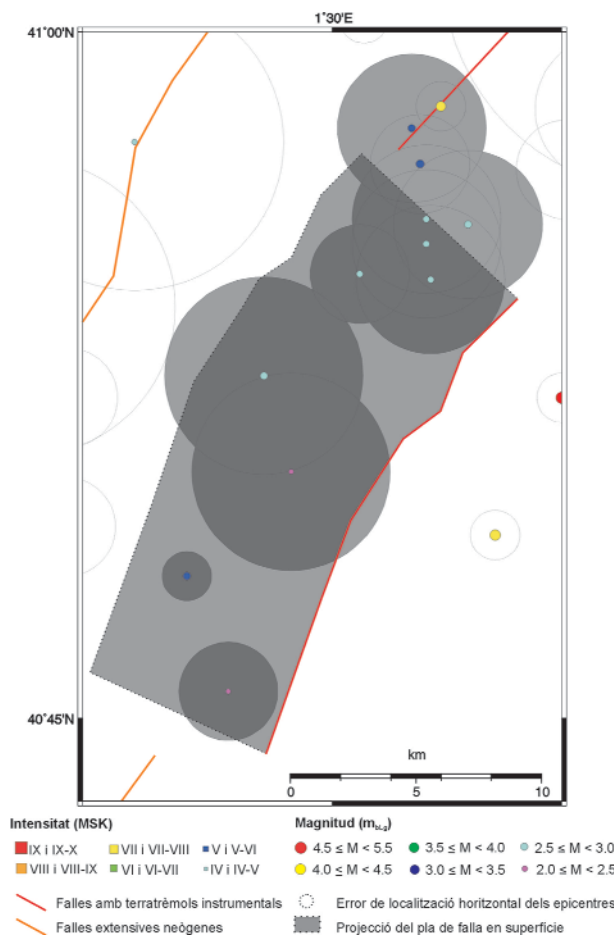


Figura A1.21. Falla n° 21.

Fault number 21.



Fault number 22.



Fault number 23.

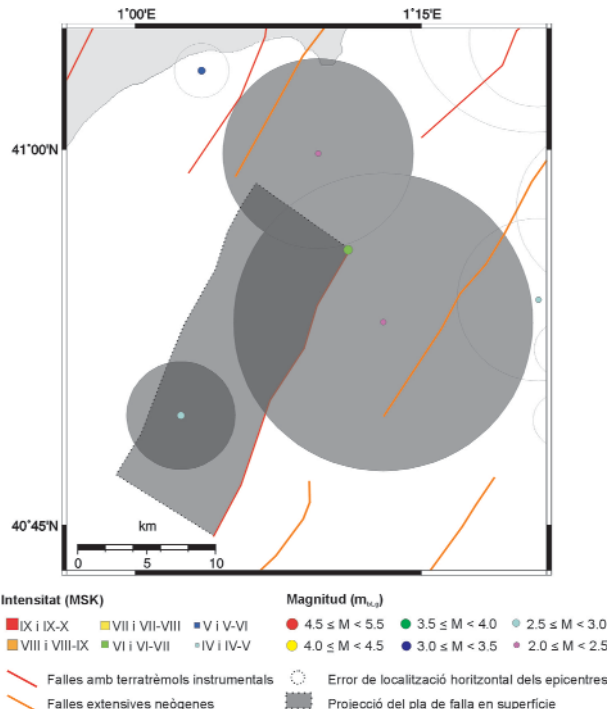


Figura A1.24. Falla n° 24.

Fault number 24.

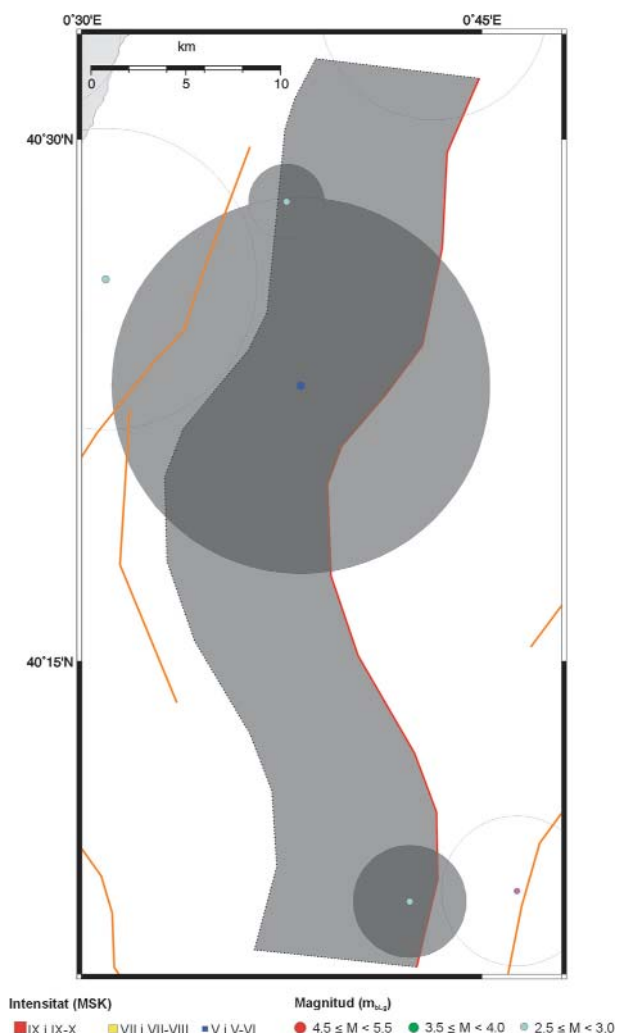


Figura A1.25. Falla n° 25.

Fault number 25.

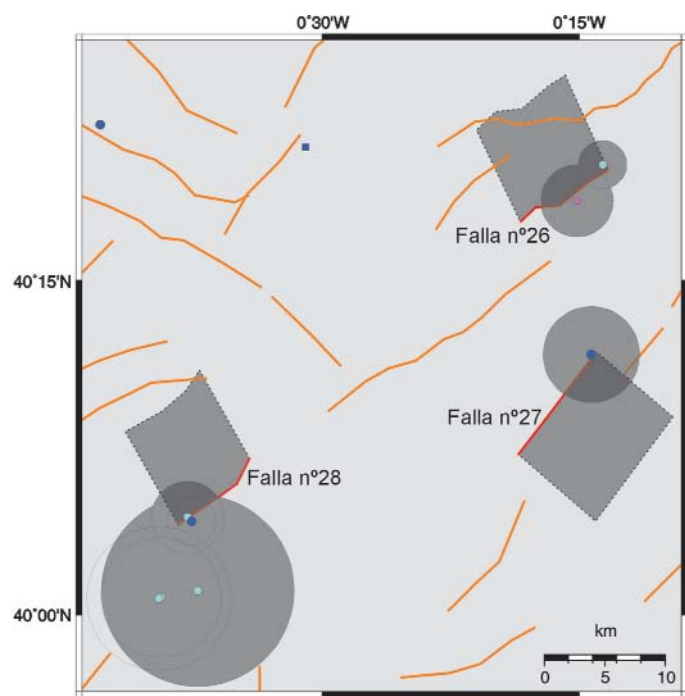


Figura A1.26 Falles n° 26, 27 i 28.

Faults numbers 26,
27 and 28.

Intensitat (MSK)		Magnitud ($m_{b,0}$)	
■ IX i IX-X	■ VII i VII-VIII	● 4.5 ≤ M < 5.5	● 3.5 ≤ M < 4.0
■ VIII i VIII-IX	■ VI i VI-VII	● 4.0 ≤ M < 4.5	● 2.5 ≤ M < 3.0
— Falles amb terratrèmols instrumentals	— Falles extensives neògenes	● 3.0 ≤ M < 3.5	● 2.0 ≤ M < 2.5
— Falles extensives neògenes	— Falles amb terratrèmols instrumentals	● Error de localització horitzontal dels epicentres	■ Projectió del pla de falla en superfície

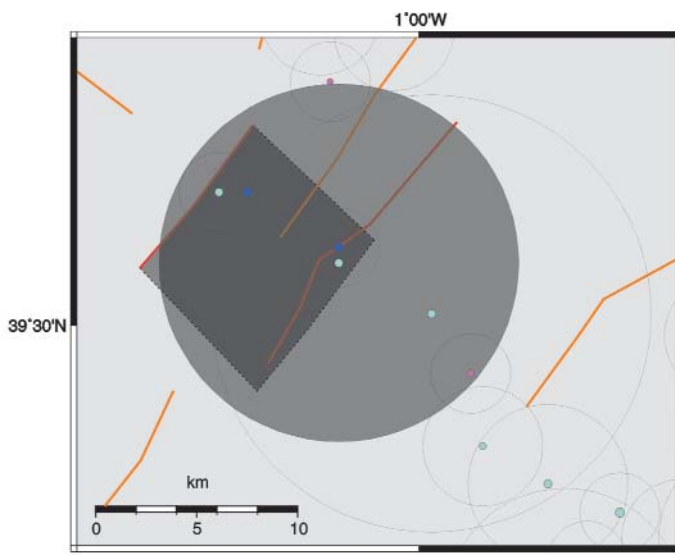


Figura A1.27. Falla n° 29.

Fault number 29.

Intensitat (MSK)		Magnitud ($m_{b,0}$)	
■ IX i IX-X	■ VII i VII-VIII	● 4.5 ≤ M < 5.5	● 3.5 ≤ M < 4.0
■ VIII i VIII-IX	■ VI i VI-VII	● 4.0 ≤ M < 4.5	● 2.5 ≤ M < 3.0
— Falles amb terratrèmols instrumentals	— Falles extensives neògenes	● 3.0 ≤ M < 3.5	● 2.0 ≤ M < 2.5
— Falles extensives neògenes	— Falles amb terratrèmols instrumentals	● Error de localització horitzontal dels epicentres	■ Projectió del pla de falla en superfície

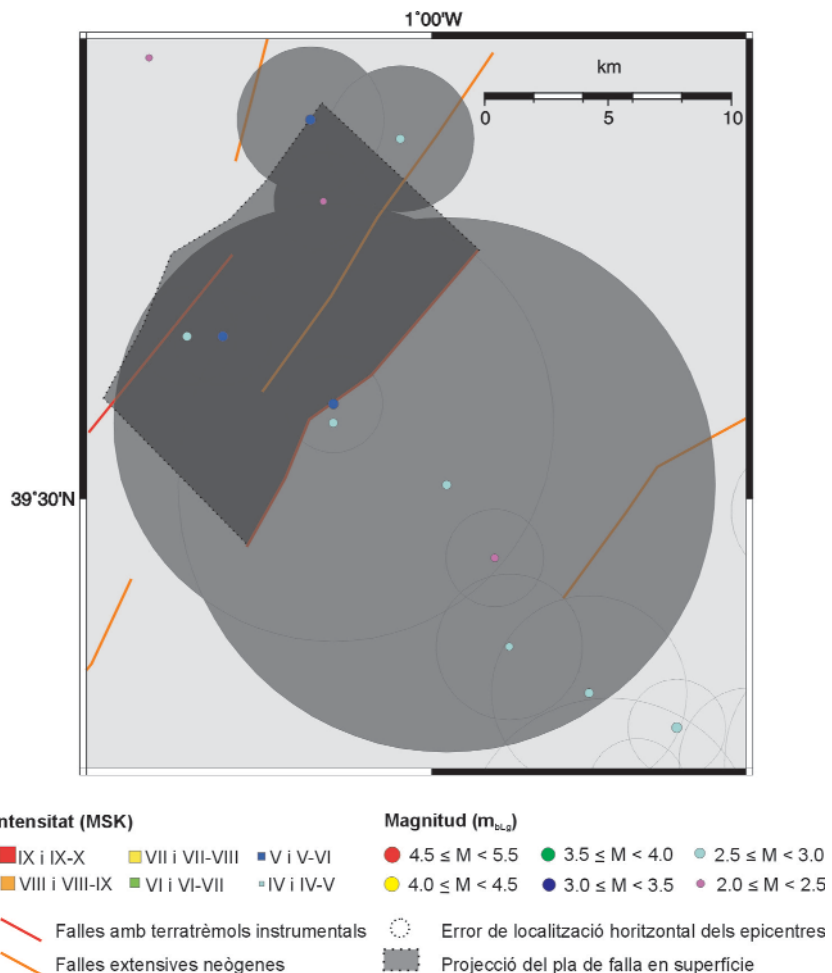


Figura A1.28. Falla n° 30.

Fault number 30.

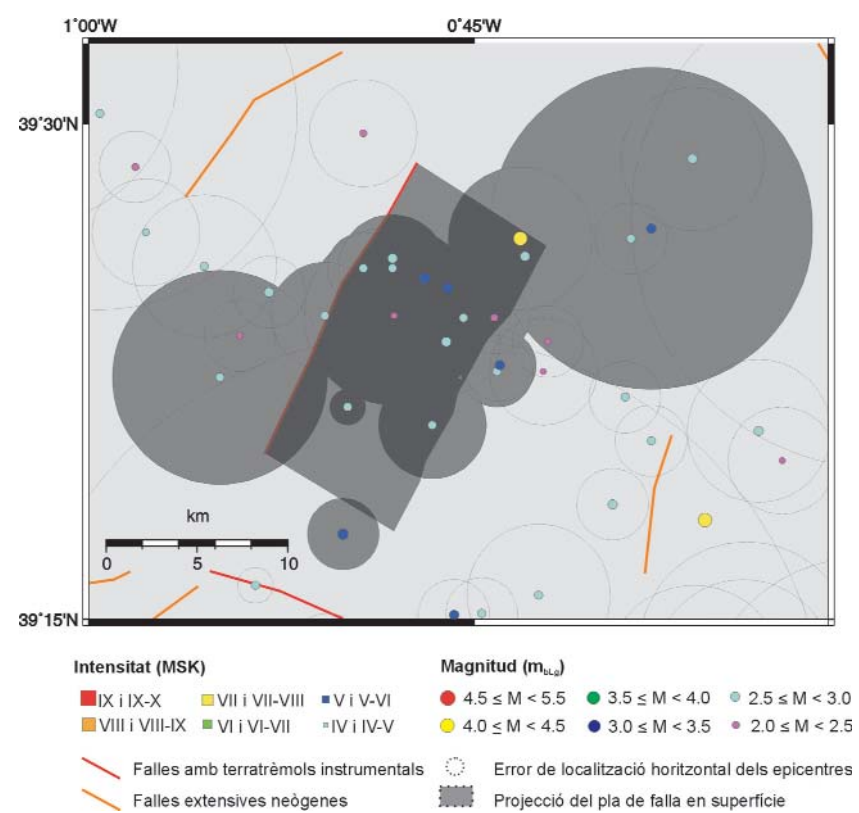


Figura A1.29. Falla n° 31.

Fault number 31.

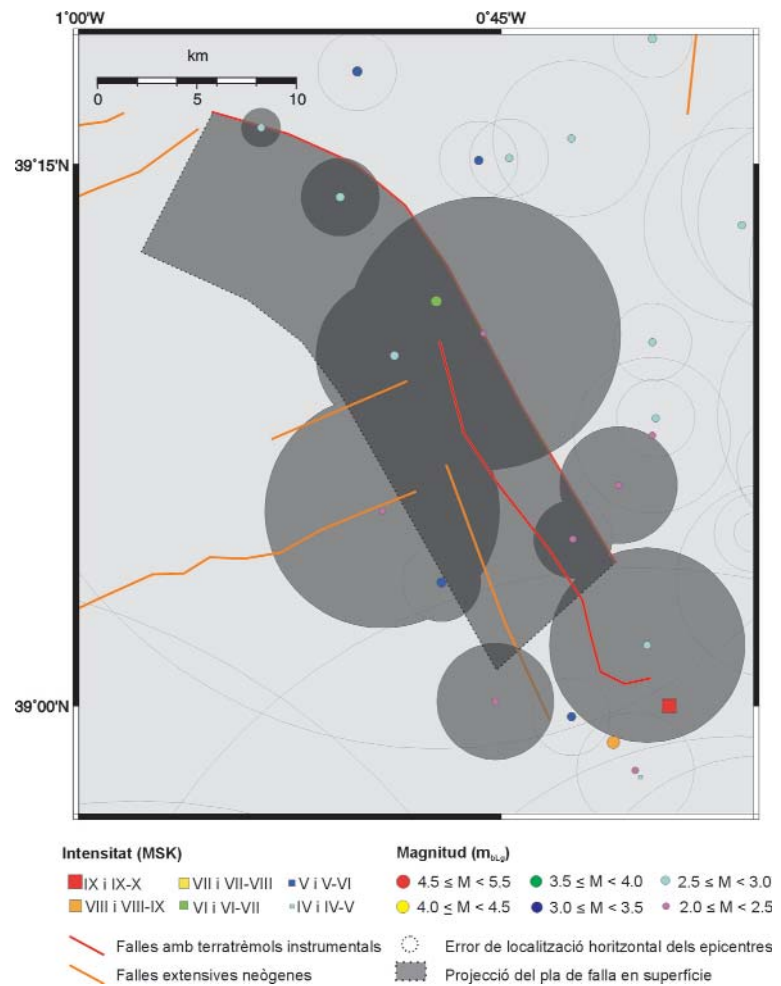


Figura A1.30. Falla n° 32.

Fault number 32.

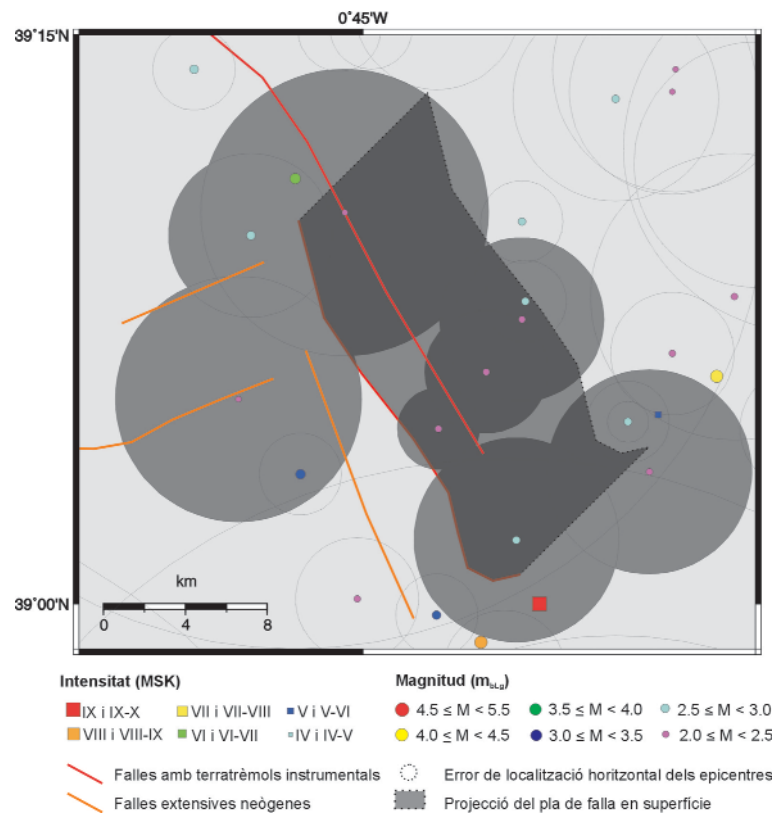


Figura A1.31. Falla n° 33.

Fault number 33.

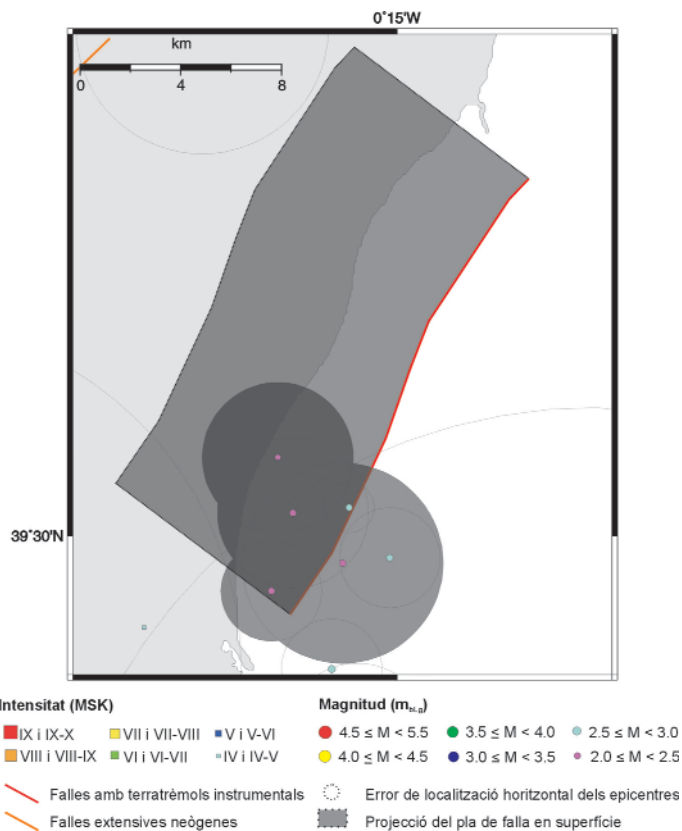


Figura A1.32. Falla n° 34.

Fault number 34.

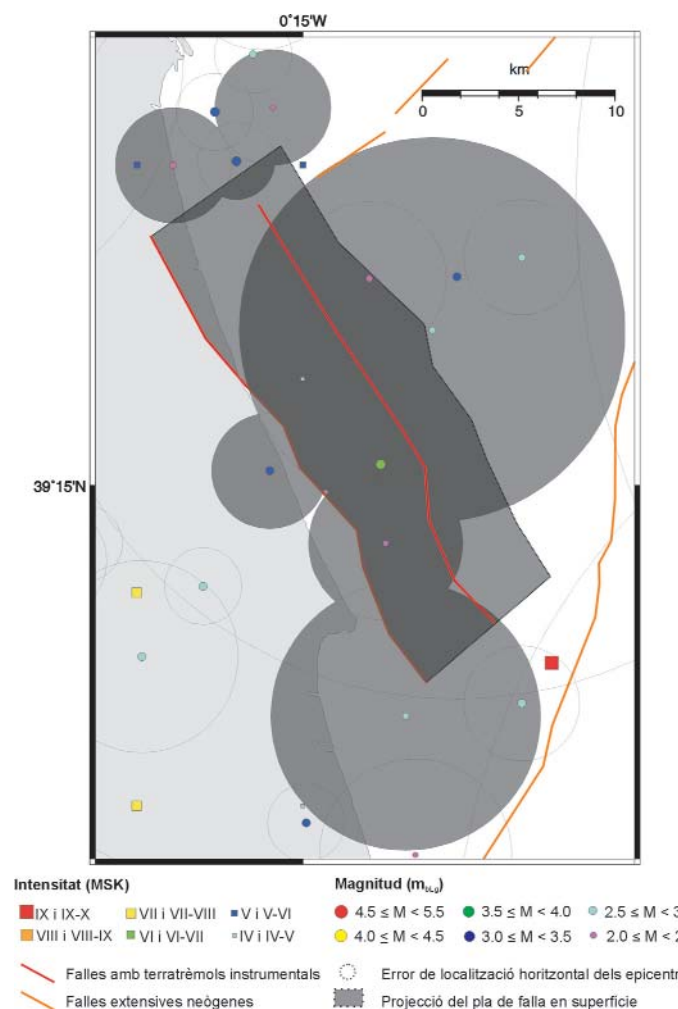


Figura A1.33. Falla n° 35.

Fault number 35.

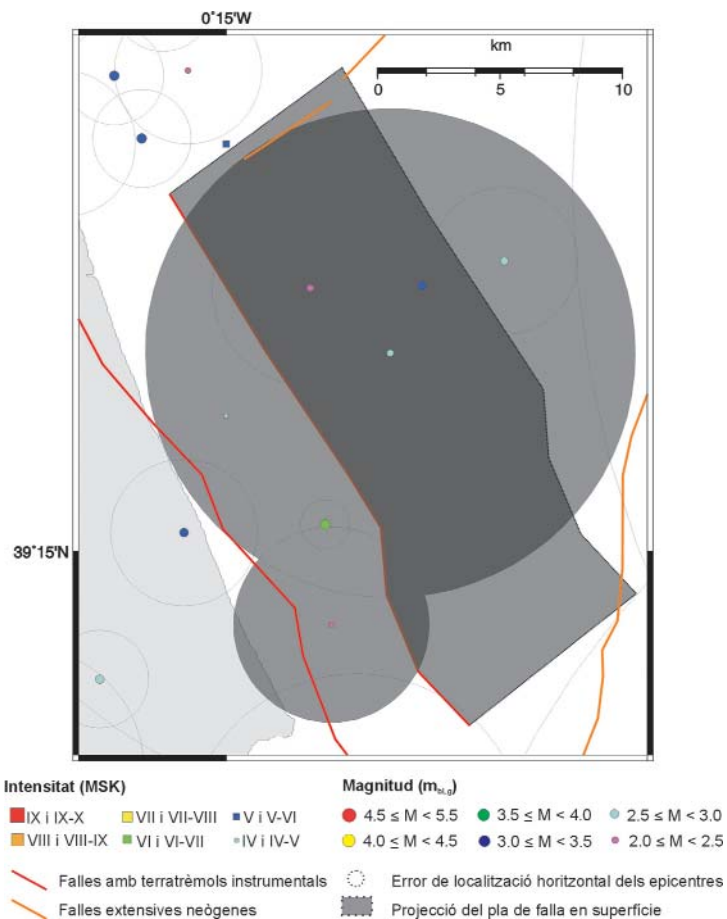


Figura A1.34. Falla n° 36.

Fault number 36.

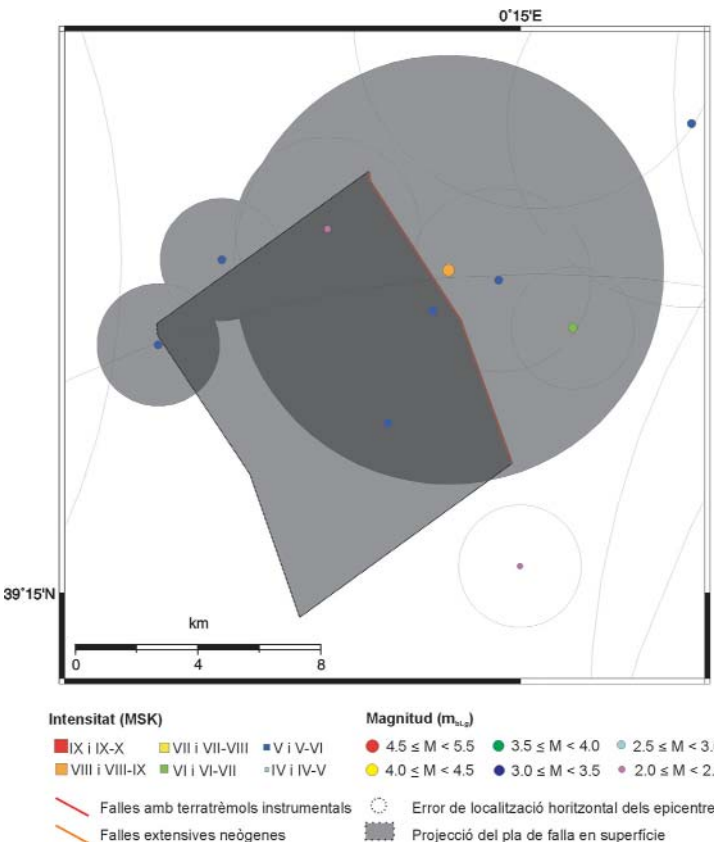


Figura A1.35. Falla n° 37.

Fault number 37.

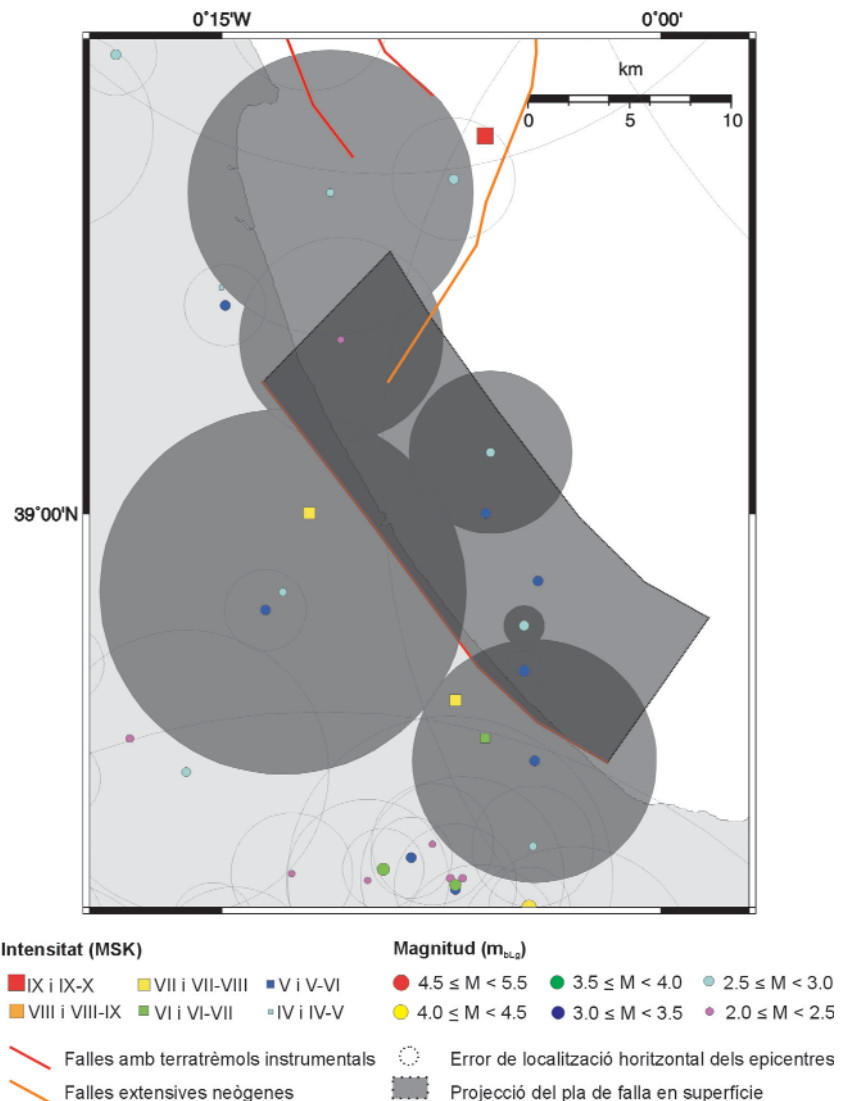


Figura A1.36. Falla n° 38.

Fault number 38.

Annex 2.

A.2. Régressions entre les différents magnitudes

↑ Índex

A.2. Regressions entre les diferents magnituds

L'annex 2 mostra les diferents regressions realitzades per obtenir les relacions entre les magnituds donades als diferents catàlegs de terratrèmols utilitzats.

Annex 2 includes the different regressions done to obtain the relations between the magnitudes given in the different catalogs of earthquakes used in this study.

1. Regressió entre M_I i m_{bLg} per a tots els catàlegs.
Regression between M_I and m_{bLg} for all the catalogs.
2. Regressió entre M_I i m_b per a tots els catàlegs.
Regression between M_I and m_b for all the catalogs.
3. Regressió entre M_I i M_n per a tots els catàlegs.
Regression between M_I and M_n for all the catalogs.
4. Regressió entre M_I i M_D per a tots els catàlegs.
Regression between M_I and M_D for all the catalogs.
5. Regressió entre m_{bLg} i m_b per a tots els catàlegs.
Regression between m_{bLg} and m_b for all the catalogs.
6. Regressió entre m_{bLg} i M_k per a tots els catàlegs.
Regression between m_{bLg} and M_k for all the catalogs.
7. Regressió entre m_{bLg} i M_n per a tots els catàlegs.
Regression between m_{bLg} and M_n for all the catalogs.
8. Regressió entre m_{bLg} i M_D per a tots els catàlegs.
Regression between m_{bLg} and M_D for all the catalogs.
9. Regressió entre M_I de l'ICC i m_{bLg} de l'IGN.
Regression between M_I from ICC and m_{bLg} from IGN.
10. Regressió entre M_I de l'ICC i del PDE.
Regression between M_I from ICC and PDE.
11. Regressió entre M_I del PDE i m_{bLg} del IGN.
Regression between M_I from PDE and m_{bLg} from IGN.
12. Regressió entre m_b del PDE i m_{bLg} de l'IGN.
Regression between m_b from PDE and m_{bLg} from IGN.

13. Regressió entre M_K del PDE i m_{bLg} de l'IGN.

Regression between M_K from PDE and m_{bLg} from IGN.

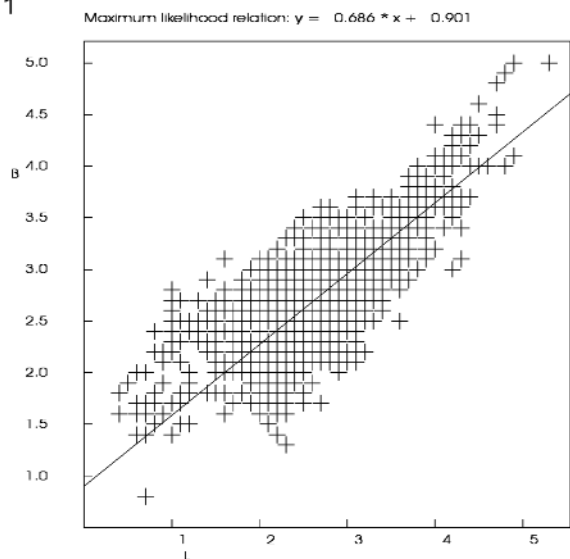
14. Regressió entre M_n del PDE i m_{bLg} de l'IGN.

Regression between M_n from PDE and m_{bLg} from IGN.

15. Regressió entre M_D del PDE i m_{bLg} de l'IGN.

Regression between M_D from PDE and m_{bLg} from IGN.

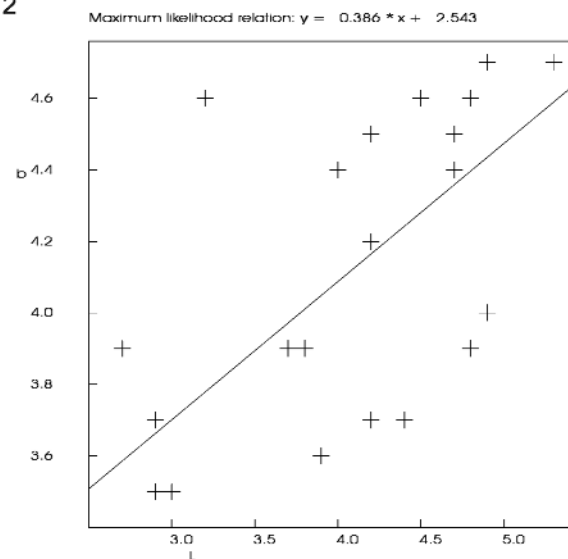
1



Relation ML-Mbg(B)

Data: 1600
 Least Sqr: $B=0.579*L+1.194$
 Max.Likelihood: $B=0.686*L+0.901$
 Slope: 0.6856680 2.0749630E-2
 Constant: 0.9010871 5.8204971E-2
 Correl: 0.778
 Aver par1(x): L 2.73
 Aver par2(y): B 2.77

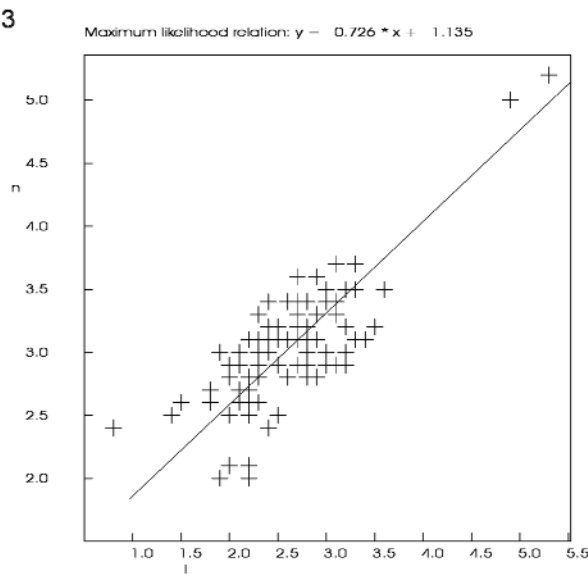
2



Relation ML-Mb

Data: 21
 Least Sqr: $b=0.316*L+2.829$
 Max.Likelihood: $b=0.386*L+2.543$
 Slope: 0.3860787 0.3482276
 Constant: 2.543479 1.424265
 Correl: 0.5743283
 Aver par1(x): L 4.08
 Aver par2(y): b 4.12

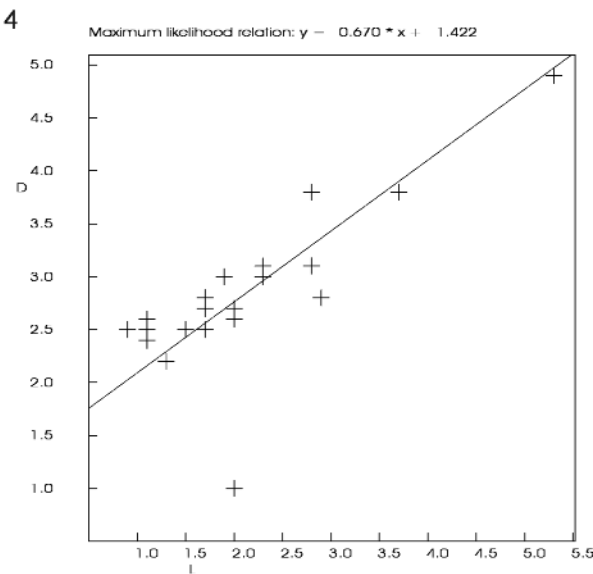
3



Relation ML-Mn

Data: 105
 Least Sqr: $n=0.605*L+1.448$
 Max.Likelihood: $n=0.726*L+1.135$
 Slope: 0.7257622 8.1690811E-2
 Constant: 1.135337 0.2165149
 Correl: 0.7776411
 Aver par1(x): L 2.59
 Aver par2(y): n 3.01

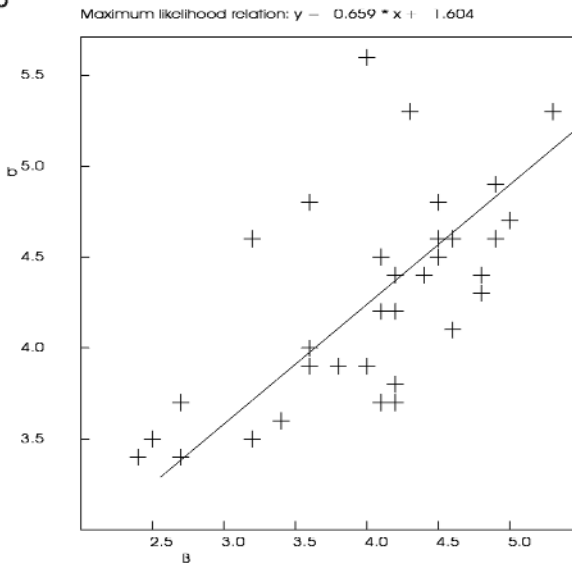
4



Relation ML-MD

Data: 21
 Least Sqr: $D=0.567*L+1.640$
 Max.Likelihood: $D=0.670*L+1.422$
 Slope: 0.6697001 0.1920617
 Constant: 1.422158 0.4385636
 Correl: 0.7756756
 Aver par1(x): L 2.11
 Aver par2(y): D 2.84

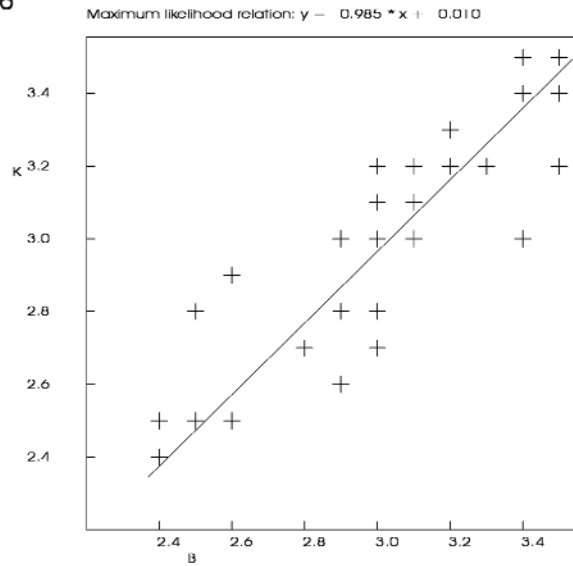
5



Relation Mblg(B)-Mb

Data: 37
 Least Sqr: $b=0.504*B+2.236$
 Max.Likelihood: $b=0.659*B+1.604$
 Slope: 0.65989382 0.1963599
 Constant: 1.603571 0.8056921
 Correl: 0.6689203
 Aver par1(x): B 4.08
 Aver par2(y): b 4.29

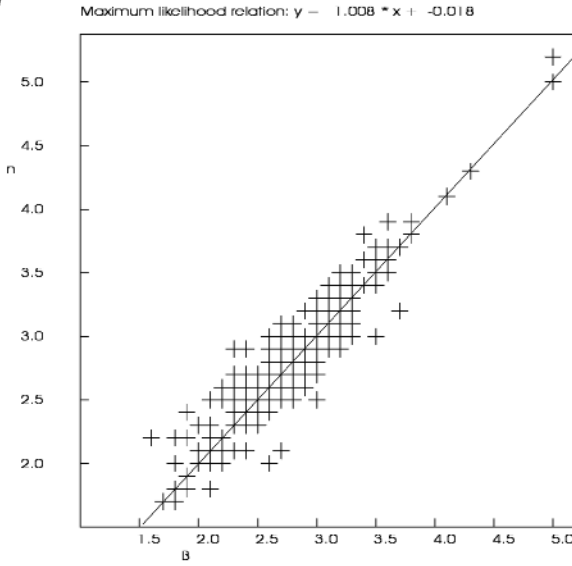
6



Relation Mblg(B)-MK

Data: 37
 Least Sqr: $K=0.852*B+0.414$
 Max.Likelihood: $K=0.985*B+0.010$
 Slope: 0.9850670 9.9210210E-2
 Constant: 1.0067477E-2 0.3044586
 Correl: 0.8626618
 Aver par1(x): B 3.03
 Aver par2(y): K 2.99

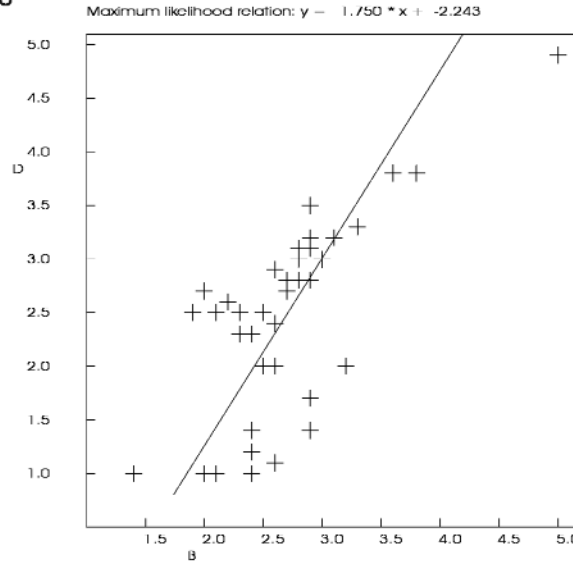
7



Relation Mblg(B)-Mn

Data: 590
 Least Sqr: $n=0.973*B+0.075$
 Max.Likelihood: $n=1.008*B-0.018$
 Slope: 1.007527 1.1012407E-2
 Constant: -1.7540384E-2 3.6164846E-2
 Correl: 0.9661310
 Aver par1(x): B 2.69
 Aver par2(y): n 2.69

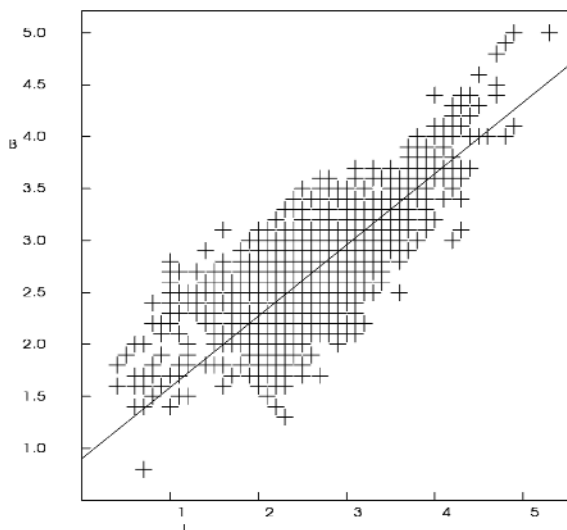
8



Relation Mblg(B)-MD

Data: 40
 Least Sqr: $D=1.069*B-0.408$
 Max.Likelihood: $D=1.750*B-2.243$
 Slope: 1.750301 0.1437320
 Constant: -2.242685 0.4122396
 Correl: 0.7109351
 Aver par1(x): B 2.69
 Aver par2(y): D 2.47

9

Maximum likelihood relation: $y = 0.686 * x + 0.901$ 

Relation ML(ICC)-Mblg(B)(IGN)

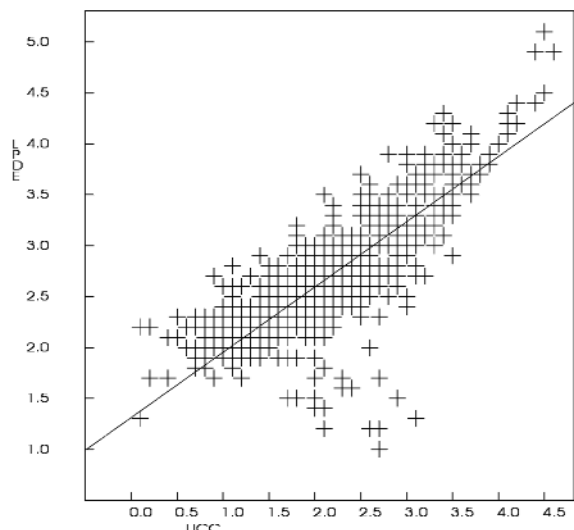
Data: 1088

Least Sqr: $B(IGN)=0.600*L(ICC)+1.257$
 Max.Likelihood: $B(IGN)=0.671*L(ICC)+1.083$
 Slope: 0.6710653 1.9803295E-2
 Constant: 1.082865 5.1308274E-2
 Correl: 0.8422998

Aver par1(x): L(ICC) 2.47

Aver par2(y): B(IGN) 2.74

10

Maximum likelihood relation: $y = 0.641 * x + 1.312$ 

Relation ML(ICC)-ML(PDE)

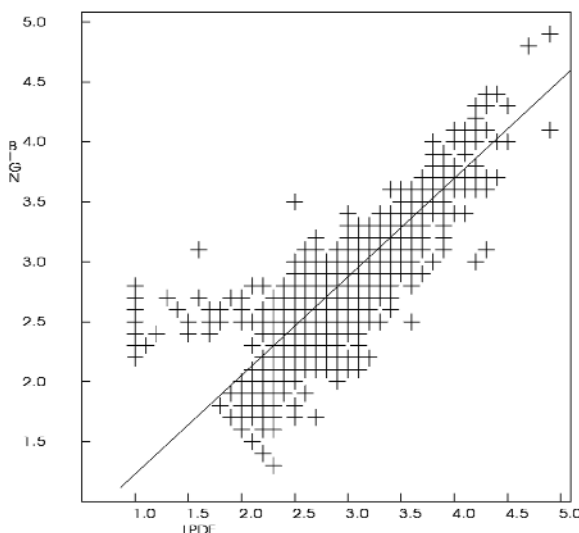
Data: 781

Least Sqr: $L(PDE)=0.557*L(ICC)+1.495$
 Max.Likelihood: $L(PDE)=0.641*L(ICC)+1.312$
 Slope: 0.6410760 2.7775025E-2
 Constant: 1.312267 6.4207315E-2
 Correl: 0.7981246

Aver par1(x): L(ICC) 2.19

Aver par2(y): L(PDE) 2.72

11

Maximum likelihood relation: $y = 0.823 * x + 0.407$ 

Relation ML(PDE)-Mblg(B)(IGN)

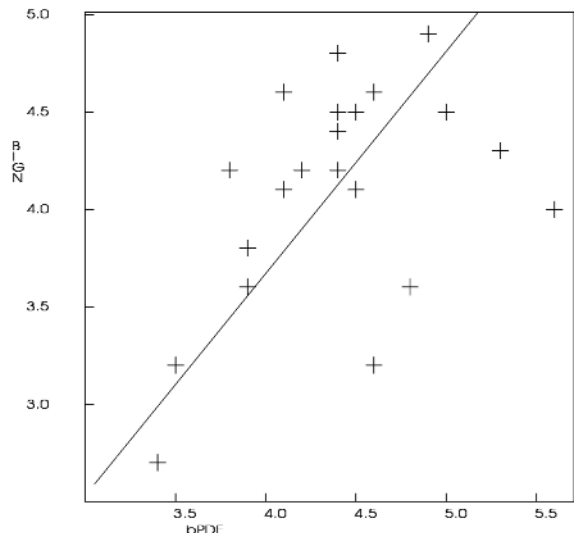
Data: 975

Least Sqr: $B(IGN)=0.672*L(PDE)+0.849$
 Max.Likelihood: $B(IGN)=0.823*L(PDE)+0.407$
 Slope: 0.8225965 2.5895225E-2
 Constant: 0.7832369 7.7747859E-2
 Correl: 0.7832369

Aver par1(x): L(PDE) 2.93

Aver par2(y): B(IGN) 2.82

12

Maximum likelihood relation: $y = 1.139 * x + -0.885$ 

Relation Mb(PDE)-Mblg(B)(IGN)

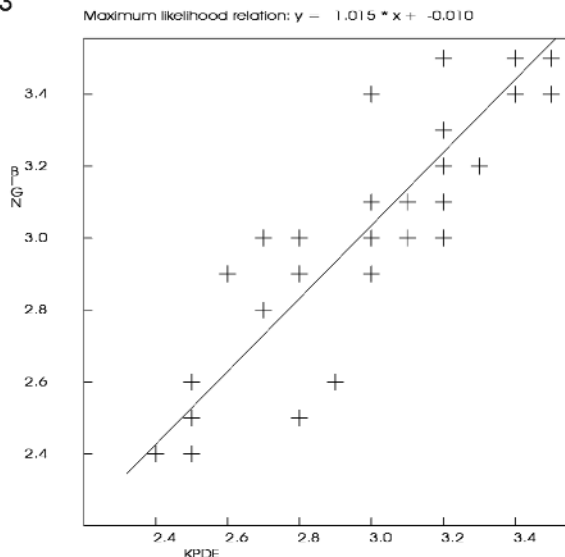
Data: 24

Least Sqr: $B(IGN)=0.536*b(PDE)+1.763$
 Max.Likelihood: $B(IGN)=1.139*b(PDE)-0.885$
 Slope: 1.138747 0.3540868
 Constant: -0.8849097 1.561014
 Correl: 0.5024850

Aver par1(x): b(PDE) 4.40

Aver par2(y): B(IGN) 4.12

13

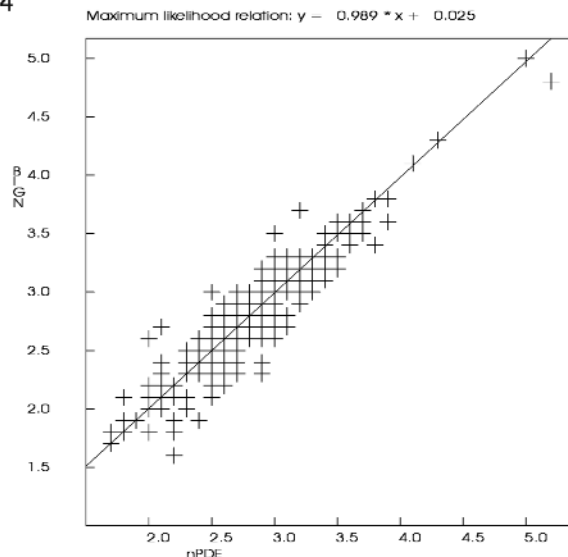


Relation MK(PDE)-Mblg(B)(IGN)

Data: 37

Least Sqr: $B(IGN)=0.874*K(PDE)+0.412$
 Max.Likelihood: $B(IGN)=1.015*K(PDE)-0.10$
 Slope: 1.015159 9.9005461E-2
 Constant: -1.0220279E-2 0.3005266
 Correl: 0.8626460
 Aver par1(x): K(PDE) 2.99
 Aver par2(y): B(IGN) 3.03

14

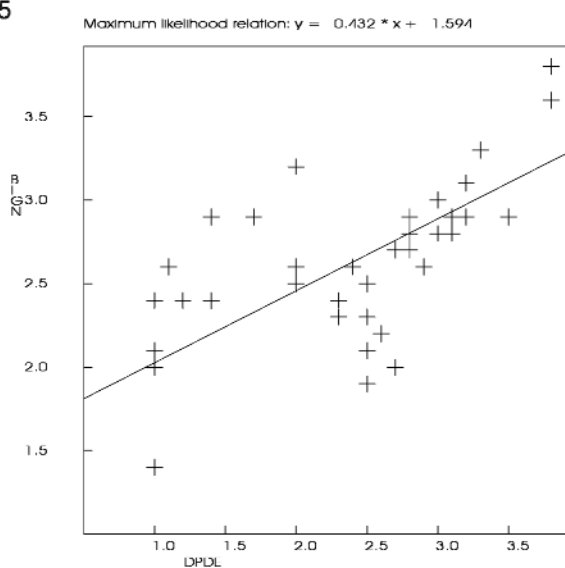


Relation Mn(PDE)-Mblg(B)(IGN)

Data: 590

Least Sqr: $B(IGN)=0.956*n(PDE)+0.116$
 Max.Likelihood: $B(IGN)=0.989*n(PDE)+0.025$
 Slope: 0.9894316 1.1097593E-2
 Constant: 2.5413964E-2 3.6257394E-2
 Correl: 0.9894316
 Aver par1(x): n(PDE) 2.69
 Aver par2(y): B(IGN) 2.69

15



Relation MD(PDE)-Mblg(B)(IGN)

Data: 39

Least Sqr: $B(IGN)=0.356*D(PDE)+1.777$
 Max.Likelihood: $B(IGN)=0.432*D(PDE)+1.594$
 Slope: 0.4315260 0.2205268
 Constant: 1.594352 0.5362248
 Correl: 0.6195163
 Aver par1(x): D(PDE) 2.41
 Aver par2(y): B(IGN) 2.63

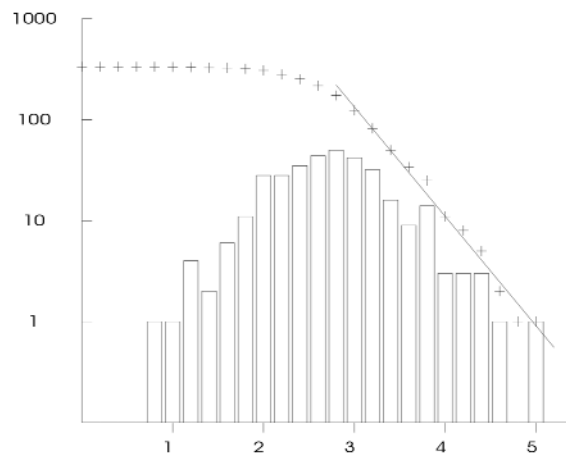
Annex 3.

A.3. Càlcul dels paràmetres sísmics de les fonts areals

↑ Índex

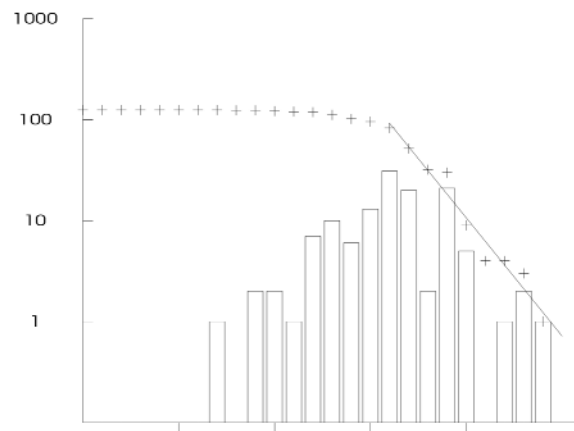
A.3. Càcul dels paràmetres sísmics de les fonts areals

Font 1



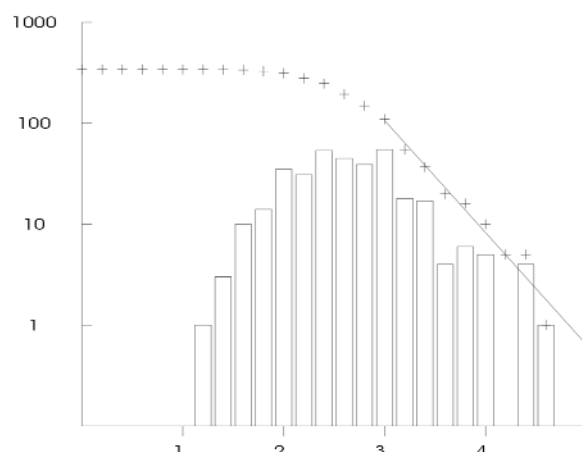
n	m1	m2	mxl a	mxl b	sd	lsq a	lsq b	cor	rms	bfix	afix	sd
181	2.8	5.2	4.94	0.89	0.49	5.36	1.05	-0.96	0.17	1.08	5.47	0.19
Normalized	2.16		2.58						2.69			
Normalized m1	-0.34		-0.37						-0.34			
Norm. lin. m1	0.5		0.4					0.5				
mag	nmag	cmag	mag	nmag	cmag	mag	nmag	cmag	mag	nmag	cmag	sd
0.8	1	341	3.0	42	131	1.4	1	132	3.2	31	91	91
1.0	1	340	3.2	32	89	1.8	2	131	3.4	20	60	5.0
1.2	4	339	3.4	15	57	2.0	1	129	3.6	2	40	5.34
1.4	2	335	3.6	9	42	2.2	1	128	3.8	21	38	0.98
1.6	6	333	3.8	14	33	2.4	7	127	4.0	5	17	0.45
1.8	11	327	4.0	3	19	2.6	10	120	4.4	9	12	-0.96
2.0	28	316	4.2	3	16	2.8	6	110	4.6	2	3	0.14
2.2	28	288	4.4	11	13	3.0	13	104	4.8	1	1	1.17
2.4	35	260	4.6	1	2							5.88
2.6	44	225	5.0	1	1							0.19
2.8	50	181										

Font 2



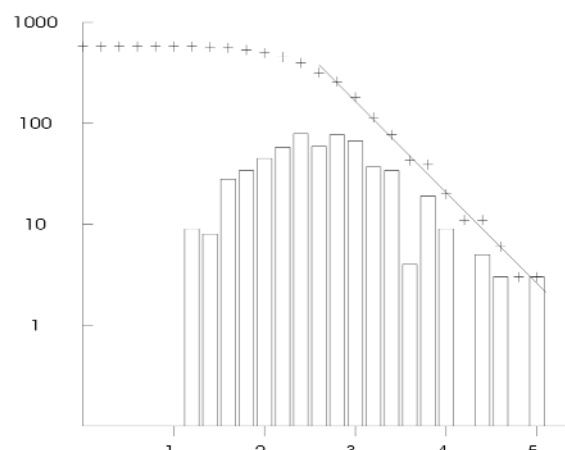
n	m1	m2	mxl a	mxl b	sd	lsq a	lsq b	cor	rms	bfix	afix	sd
91	3.2	5.0	5.34	0.98	0.45	5.63	1.11	-0.96	0.14	1.17	5.88	0.19
Normalized	2.56		2.58						2.85			3.11
Normalized m1	-0.57		-0.37						-0.69			-0.64
Norm. lin. m1	0.3		0.4					0.2				0.2
mag	nmag	cmag	mag	nmag	cmag	mag	nmag	cmag	mag	nmag	cmag	sd
1.4	1	132	3.0	42	131	1.4	1	132	3.2	31	91	91
1.8	2	131	3.2	32	89	1.8	2	131	3.4	20	60	5.34
2.0	1	129	3.4	15	57	2.0	1	129	3.6	2	40	0.98
2.2	1	128	3.6	9	42	2.2	1	128	3.8	21	38	0.45
2.4	7	127	3.8	14	33	2.4	7	127	4.0	5	17	-0.96
2.6	10	120	4.0	3	19	2.6	10	120	4.4	9	12	0.14
2.8	6	110	4.2	3	16	2.8	6	110	4.6	2	3	1.17
3.0	13	104	4.4	11	13	3.0	13	104	4.8	1	1	5.88
												0.19

Font 3



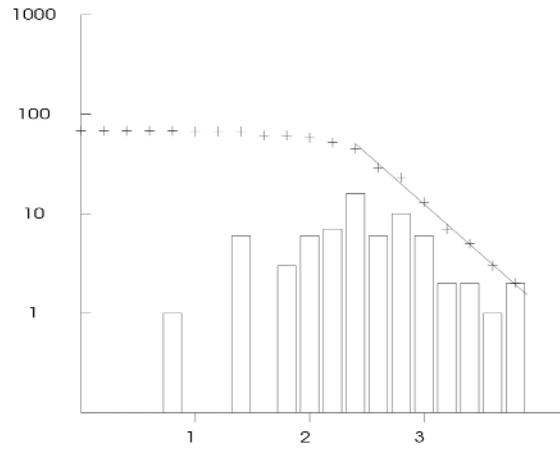
n	m1	m2	mxl a	mxl b	sd	lsq a	lsq b	cor	rms	bfix	afix	sd
110	3.0	5.0	6.79	1.42	0.39	5.36	1.11	-0.99	0.05	0.00	1.14	0.62
Normalized	4.61		3.18						-1.04			
Normalized m1	0.34		-0.15						-1.04			
Norm. lin. m1	2.2		0.7					0.1				
mag	nmag	cmag	mag	nmag	cmag	mag	nmag	cmag	mag	nmag	cmag	sd
1.2	1	342	3.0	55	110	1.2	1	342	3.0	578	181	91
1.4	3	341	3.2	18	55	1.4	3	341	3.2	37	114	5.34
1.6	10	338	3.4	17	37	1.6	28	561	3.4	34	77	0.98
1.8	14	328	3.6	4	20	1.8	34	533	3.6	4	43	0.45
2.0	35	314	3.8	6	16	2.0	45	499	3.8	19	39	5.63
2.2	31	279	4.0	5	10	2.2	58	454	4.0	9	20	1.11
2.4	54	248	4.4	4	5	2.4	79	396	4.4	5	11	-0.96
2.6	45	194	4.6	1	1	2.6	59	317	4.6	3	6	0.14
2.8	39	149				2.8	77	258	5.0	3	3	1.50

Font 4

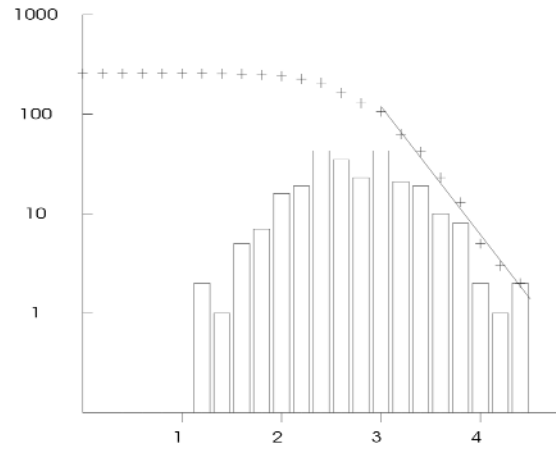


n	m1	m2	mxl a	mxl b	sd	lsq a	lsq b	cor	rms	bfix	afix	sd
317	2.6	5.1	4.84	0.84	0.47	4.92	0.90	-1.00	0.05	0.00	1.50	0.68
Normalized	1.91		1.99						1.99			-1.43
Normalized m1	-0.27		-0.35						-0.35			-1.43
Norm. lin. m1	0.5		0.4					0.1				0.0
mag	nmag	cmag	mag	nmag	cmag	mag	nmag	cmag	mag	nmag	cmag	sd
1.2	9	578	3.0	67	181	1.2	9	578	3.0	67	181	91
1.4	8	569	3.2	37	114	1.4	8	569	3.2	37	114	5.34
1.6	28	561	3.4	34	77	1.6	28	561	3.4	34	77	0.98
1.8	34	533	3.6	4	43	1.8	34	533	3.6	4	43	0.45
2.0	45	499	3.8	19	39	2.0	45	499	3.8	19	39	5.63
2.2	58	454	4.0	9	20	2.2	58	454	4.0	9	20	1.11
2.4	79	396	4.4	5	11	2.4	79	396	4.4	5	11	-0.96
2.6	59	317	4.6	3	6	2.6	59	317	4.6	3	6	0.14
2.8	77	258	5.0	3	3	2.8	77	258	5.0	3	3	1.50

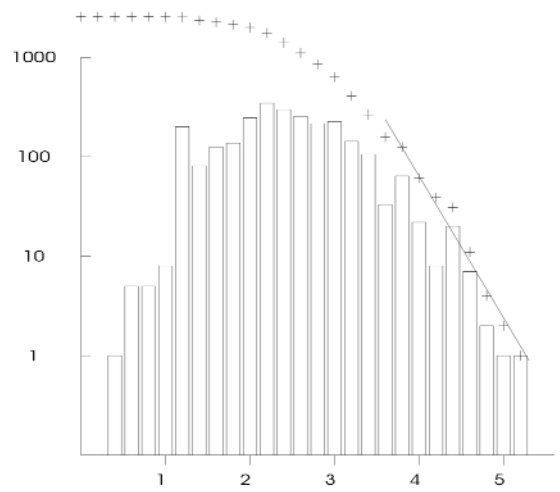
Font 5



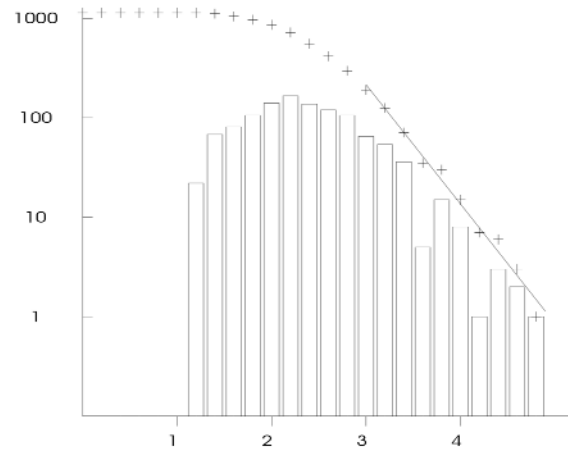
Font 6



Font 7



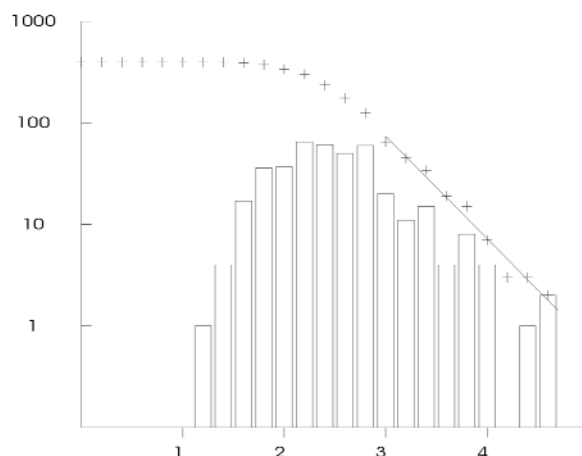
Font 8



	1	2	3	4	5
n	158	158	158	158	158
m1	3.6	5.3	6.49	1.13	0.34
m2	5.3	6.49	1.13	0.34	7.50
mxl a	6.49	1.13	0.34	7.50	1.42
mxl b	1.13	0.34	7.50	1.42	-0.98
sd	0.79	0.79	0.79	0.79	0.79
lsq a	0.34	0.01	0.11	0.00	1.23
lsq b	7.50	1.42	-0.98	-0.98	-1.34
cor	-0.98	-0.98	-0.98	-0.98	-1.34
rms	0.11	0.11	0.11	0.11	0.11
bfix	0.00	0.00	0.00	0.00	0.00
afix	1.23	1.23	1.23	1.23	0.79
sd	0.79	0.79	0.79	0.79	0.79

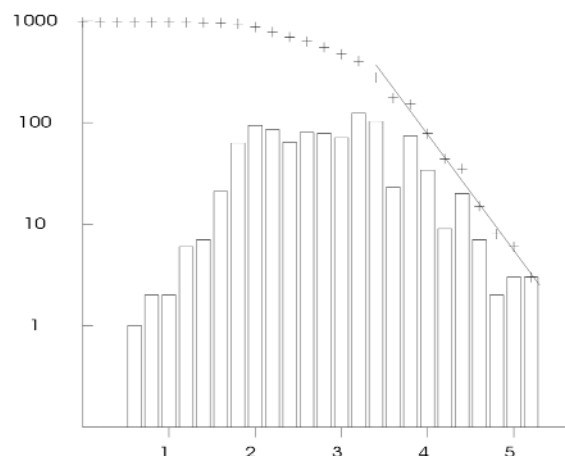
	1	2	3	4
n	296	296	296	296
m1	2.8	4.9	6.21	1.21
m2	4.9	6.21	1.21	0.39
mxl a	6.21	1.21	0.39	5.84
mxl b	1.21	0.39	5.84	1.18
sd	0.75	0.75	0.75	0.75
lsq a	0.39	0.04	0.06	-1.00
lsq b	5.84	3.04	0.06	-1.44
cor	1.18	-0.26	0.00	-1.44
rms	-1.00	0.6	1.36	0.00
bfix	0.00	0.6	1.36	0.75
afix	1.36	0.00	1.36	0.75
sd	0.75	0.75	0.75	0.75

Font 9



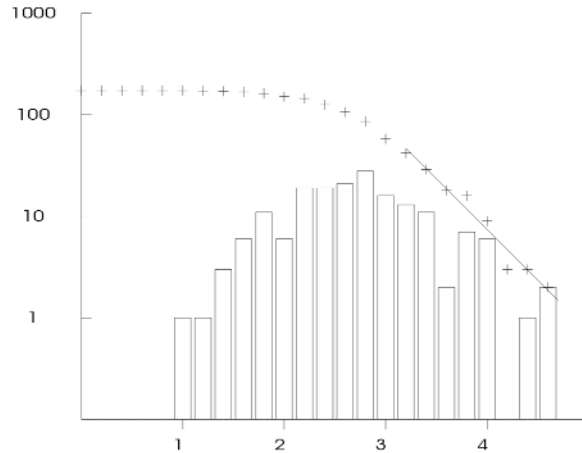
	n	m1	m2	mxl a	mxl b	sd	lsq a	lsq b	cor	rms	bfix	afix	sd
Normalized	3.76		2.55		-1.22								
Normalized m1	0.14		-0.30		-1.22								
Norm. lin. m1	1.4		0.5		0.1								
	mag	nmag	cmag	mag	nmag	cmag	mag	nmag	cmag	mag	nmag	cmag	mag
1.2	1	396		3.0	20	65	0.6	1	976	3.0	71	473	3.0
1.4	4	395		3.2	11	45	0.8	2	975	3.2	124	402	3.2
1.6	17	391		3.4	15	34	1.0	2	973	3.4	103	278	3.4
1.8	36	374		3.6	4	19	1.2	6	971	3.6	23	175	3.6
2.0	37	338		3.8	8	15	1.4	7	965	3.8	74	152	3.8
2.2	65	301		4.0	4	7	1.6	21	958	4.0	34	78	4.0
2.4	61	236		4.4	1	3	1.8	63	937	4.2	9	44	4.2
2.6	50	175		4.6	2	2	2.0	94	874	4.4	20	35	4.4
2.8	60	125					2.2	85	780	4.6	7	15	4.6

Font 10



	n	m1	m2	mxl a	mxl b	sd	lsq a	lsq b	cor	rms	bfix	afix	sd
Normalized	3.76		2.55		-1.22								
Normalized m1	0.14		-0.30		-1.22								
Norm. lin. m1	1.4		0.5		0.1								
	mag	nmag	cmag	mag	nmag	cmag	mag	nmag	cmag	mag	nmag	cmag	mag
0.6	1	976		3.0	71	473	0.6	1	976	3.0	71	473	3.0
0.8	2	975		3.2	124	402	0.8	2	975	3.2	124	402	3.2
1.0	2	973		3.4	103	278	1.0	2	973	3.4	103	278	3.4
1.2	6	971		3.6	23	175	1.2	6	971	3.6	23	175	3.6
1.4	7	965		3.8	74	152	1.4	7	965	3.8	74	152	3.8
1.6	21	958		4.0	34	78	1.6	21	958	4.0	34	78	4.0
1.8	63	937		4.2	9	44	1.8	63	937	4.2	9	44	4.2
2.0	94	874		4.4	20	35	2.0	94	874	4.4	20	35	4.4
2.2	85	780		4.6	7	15	2.2	85	780	4.6	7	15	4.6
2.4	64	695		4.8	2	8	2.4	64	695	4.8	2	8	4.8
2.6	80	631		5.0	3	6	2.6	80	631	5.0	3	6	5.0
2.8	78	551		5.2	3	3	2.8	78	551	5.2	3	3	5.2

Font 11



	n	m1	m2	mxl a	mxl b	sd	lsq a	lsq b	cor	rms	bfix	afix	sd
Normalized	2.26		2.08		-1.40								
Normalized m1	-0.38		-0.55		-1.40								
Norm. lin. m1	0.4		0.3		0.0								
	mag	nmag	cmag	mag	nmag	cmag	mag	nmag	cmag	mag	nmag	cmag	mag
1.0	1	173		2.8	28	86	1.0	1	173	2.8	28	86	2.8
1.2	1	172		3.0	16	58	1.2	1	172	3.0	16	58	3.0
1.4	3	171		3.2	13	42	1.4	3	171	3.2	13	42	3.2
1.6	6	168		3.4	11	29	1.6	6	168	3.4	11	29	3.4
1.8	11	162		3.6	2	18	1.8	11	162	3.6	2	18	3.6
2.0	6	151		3.8	7	16	2.0	6	151	3.8	7	16	3.8
2.2	19	145		4.0	6	9	2.2	19	145	4.0	6	9	4.0
2.4	19	126		4.4	1	3	2.4	19	126	4.4	1	3	4.4
2.6	21	107		4.6	2	2	2.6	21	107	4.6	2	2	4.6

Annex 4.

A.4. Mapes i corbes de perillositat per als diferents models característics

A.4. Mapes i corbes de perillositat per als diferents models característics

